

Strömungslehre II

Formelsammlung

Der Fachschaft zur Verfügung gestellt von Robert John

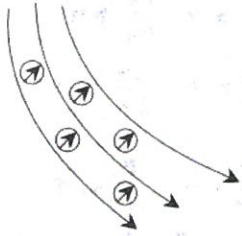
Die Inhalte in diesem Dokument werden Studenten der Luft- und Raumfahrttechnik an der Universität Stuttgart im Rahmen des Studiums der Luft- und Raumfahrttechnik an der Universität Stuttgart zur Verfügung gestellt. Diese dürfen ausschließlich für akademische Zwecke verwendet werden und sind Studenten der Luft- und Raumfahrttechnik an der Universität Stuttgart vorbehalten. Weder Korrektheit noch Vollständigkeit der Inhalte wird gewährleistet und weder für fehlerhafte noch für fehlende Informationen wird gehaftet. Die Verwendung verläuft auf eigene Gefahr und wird nicht empfohlen. Für jegliche Folgen die aus der Verwendung der in dieser Formelsammlung enthaltenen Formeln, Grafiken und Informationen hervorgehen ist der Anwender verantwortlich. Alle Dokumente sind nur für den privaten Gebrauch bestimmt. Die Weitergabe an Dritte, Vervielfältigung oder die Veröffentlichung dieser Dateien vollständig, auszugsweise oder in Abwandlung ist strengstens untersagt.

Wirbeltheorie

Drehungsfrei

$$\text{rot}(\underline{v}_1) = 0 \quad | \quad \text{div}(\rho \underline{v}_1) \neq 0 \quad | \quad \underline{v}_1 = \nabla(\phi)$$

$\phi = \text{Skalares Geschwindigkeitspotential}$



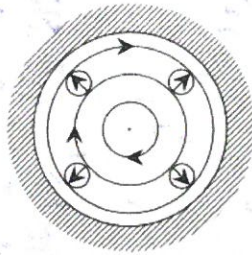
Volumenstrom

$$Q = \underline{v} \cdot \underline{A}$$

Drehungsbehaftet

$$\text{rot}(\underline{v}_2) \neq 0 \quad | \quad \text{div}(\rho \underline{v}_2) = 0 \quad | \quad \rho \underline{v}_2 = \rho_b \text{rot}(\psi)$$

$\psi = \text{Vektoriellies Wirbelpotential}$



Wirbelstrom

$$\underline{\omega} \cdot \underline{A}$$

Wirbelstärke

$$\underline{\omega} = \frac{1}{2} \text{rot}(\underline{v})$$

Zirkulation (+ : \odot)

$$\Gamma = \oint_S \underline{v} \cdot d\underline{s} = \oint_S v \cos(\alpha) ds \quad (7.20)$$

$$= \iint_A \text{rot}(\underline{v}) \cdot \underline{n} dA = \iint_A \underline{\Omega} \cdot \underline{n} dA \quad (7.20b) \quad \text{Rechte-Hand}$$

Laplace-Operator

$$\Delta(\psi) = \begin{pmatrix} \frac{\partial^2 \psi_x}{\partial x^2} + \frac{\partial^2 \psi_x}{\partial y^2} + \frac{\partial^2 \psi_x}{\partial z^2} \\ \frac{\partial^2 \psi_y}{\partial x^2} + \frac{\partial^2 \psi_y}{\partial y^2} + \frac{\partial^2 \psi_y}{\partial z^2} \\ \frac{\partial^2 \psi_z}{\partial x^2} + \frac{\partial^2 \psi_z}{\partial y^2} + \frac{\partial^2 \psi_z}{\partial z^2} \end{pmatrix} \quad (7.13)$$

Rotation

Allgemein

$$(7.11)$$

$$\underline{\Omega} = 2\underline{\omega} = \text{rot}(\underline{v})$$

Dichtebeständig

Allgemein

$$\underline{\Omega} = \nabla(\text{div}(\underline{\psi})) - \Delta(\underline{\psi}) \quad (7.12)$$

Ebene Platte

$$\Omega_z = -\Delta(\psi_z) \quad (7.14)$$

Kartesisch

$$\underline{\Omega} = \begin{pmatrix} \frac{\partial v}{\partial y} - \frac{\partial v}{\partial z} \\ \frac{\partial v}{\partial z} - \frac{\partial v}{\partial x} \\ \frac{\partial v}{\partial x} - \frac{\partial v}{\partial y} \end{pmatrix}$$

Zylindrisch

$$\underline{\Omega} = \begin{pmatrix} \frac{1}{r} \frac{\partial v_z}{\partial \varphi} - \frac{\partial v_\varphi}{\partial z} \\ \frac{\partial v_r}{\partial z} - \frac{\partial v_z}{\partial r} \\ \frac{1}{r} \left(\frac{\partial}{\partial r} (r \cdot v_\varphi) - \frac{\partial v_r}{\partial \varphi} \right) \end{pmatrix} \quad (7.16)$$

Wirbelsätze

1. Helmholtz'scher Wirbelsatz

$$\text{div}(\underline{\omega}) = \text{div}(\underline{\Omega}) = 0 \quad (7.22)$$

2. Helmholtz'scher Wirbelsatz

Reibungsfrei & Barotrop

$$\frac{D}{Dt} \left(\frac{\underline{\omega}}{\rho} \right) = \frac{\underline{\omega}}{\rho} \cdot \nabla(\underline{v}) \quad (7.29b)$$

Satz von Thomson/Kelvin

$$\frac{D\Gamma}{Dt} = - \oint_{S(t)} \frac{dp}{\rho}$$

Reibungsfrei
Barotrop/Inkompressibel
U Existiert

Wirbeltransportgleichung

Allgemein

$$\frac{D}{Dt}(\underline{\omega}) = \underline{\omega} \cdot \nabla(\underline{v}) + \nu \Delta(\underline{\omega}) \quad (7.31)$$

2D/Rotationssymmetrisch

$$\frac{D\omega}{Dt} = \frac{\partial \omega}{\partial t} + \underline{v} \cdot \nabla(\omega) = \nu \Delta(\omega) \quad (7.32a)$$

2D/Rotationssym. & Inkompr.

$$\frac{D\omega}{Dt} = \frac{\partial \omega}{\partial t} + \underline{v} \cdot \nabla(\omega) = 0 \quad \text{aus (7.30)}$$

Homogenes Fluid | Reibungsbehaftet | U Existiert

Biot-Savart Gesetz (+ : \odot) RHR! \updownarrow

Vektorform

$$d\underline{v} = \frac{\Gamma}{4\pi} \frac{\underline{a} \times d\underline{s}}{a^3}$$

Einseitig Unendlich

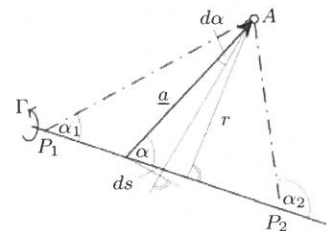
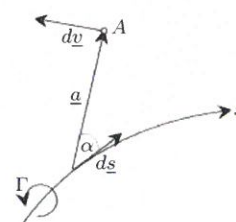
$$v = \frac{\Gamma}{4\pi r} (1 + \cos(\alpha_1))$$

$\alpha_2 = \pi$

Beidseitig Unendlich

$$v = \frac{\Gamma}{2\pi r}$$

$\alpha_1 = 0$



Betragsform

$$dv = \frac{\Gamma}{4\pi} \frac{\sin(\alpha) ds}{a^2}$$

Gerade Wirbellinie

$$dv = \frac{\Gamma}{4\pi r} \sin(\alpha) d\alpha$$

Arctan2

$$\text{arctan2}(x, y) = \begin{cases} \arctan\left(\frac{y}{x}\right) & \text{für } x > 0 & \text{I, IV} \\ \arctan\left(\frac{y}{x}\right) + \pi & \text{für } x < 0, y > 0 & \text{II} \\ \pm\pi & \text{für } x < 0, y = 0 & \\ \arctan\left(\frac{y}{x}\right) - \pi & \text{für } x < 0, y < 0 & \text{III} \\ +\frac{\pi}{2} & \text{für } x = 0, y > 0 & \\ -\frac{\pi}{2} & \text{für } x = 0, y < 0 & \end{cases}$$

$$\text{arctan2}(x, -y) = -\text{arctan2}(x, y)$$

$$\text{arctan2}(-x, y) = \begin{cases} -\text{arctan2}(x, y) + \text{sign}(y)\pi & \text{für } y \neq 0 \\ 0 & \text{für } y = 0 \wedge x < 0 \\ \pm\pi & \text{für } y = 0 \wedge x > 0 \end{cases}$$

(Bernoulli)

Stromlinie: $\Psi = \text{konst.}$

Isotache: $|\underline{v}| = \text{konst.}$

Isobare: $\rho + \frac{\rho}{2} v^2 + \rho \cdot g \cdot z = p_0 = p_{\infty}; \quad \rho = \text{konst.}$

Isokline: Steigung $\tan(\alpha) = \frac{v}{u} = \text{konst.} \rightarrow v = \tan(\alpha) \cdot u = k_\alpha \cdot u$

Potentialströmungen

Geschwindigkeitspotential		Grundgleichung	Zirkulation
Definiton	Inkompressibel	$\frac{\partial \phi}{\partial t} + \frac{1}{2} (\nabla(\phi))^2 + \frac{p}{\rho} + U = F(t)$ (7.44)	$\Gamma_{1 \rightarrow 2} = \int_1^2 \mathbf{v} \cdot d\mathbf{s} = \phi_2 - \phi_1$ (7.39)
$\mathbf{v} = \nabla(\phi)$ (7.36)	$\Delta(\phi) = 0$ (7.40b)		
Kartesisch	Zylinderkoordinaten	Randbedingungen	
$\frac{\partial^2 \phi}{\partial x^2} + \frac{\partial^2 \phi}{\partial y^2} + \frac{\partial^2 \phi}{\partial z^2} = 0$ (7.51)	$\frac{1}{r} \frac{\partial}{\partial r} \left(r \frac{\partial \phi}{\partial r} \right) + \frac{1}{r^2} \frac{\partial^2 \phi}{\partial r^2} + \frac{\partial^2 \phi}{\partial z^2} = 0$	Feste Wand	Bewegte Wand
		Im Unendlichen	$\frac{\partial \phi}{\partial n} = 0$ (7.46)
$\nabla(\phi) = \mathbf{v}_\infty$ aus (7.50)			

Ebene Geschwindigkeiten (7.37)		Geschwindigkeitsbeziehungen (7.54b)	
Kartesisch	Polarkoordinaten	Eben (Cauchy-Riemann)	Rotationssymmetrisch
$u = \frac{\partial \phi}{\partial x} = \frac{\partial \psi}{\partial y}$ $v = \frac{\partial \phi}{\partial y} = -\frac{\partial \psi}{\partial x}$	$v_r = \frac{\partial \phi}{\partial r} = \frac{1}{r} \frac{\partial \psi}{\partial \phi}$ $v_\phi = \frac{1}{r} \frac{\partial \phi}{\partial \phi} = -\frac{\partial \psi}{\partial r}$	$u = \frac{\partial \phi}{\partial x} = \frac{\partial \psi}{\partial y}$ $v = \frac{\partial \phi}{\partial y} = -\frac{\partial \psi}{\partial x}$	$v_r = \frac{\partial \phi}{\partial r} = -\frac{1}{r} \frac{\partial \psi}{\partial z}$ $v_z = \frac{\partial \phi}{\partial z} = \frac{1}{r} \frac{\partial \psi}{\partial r}$

Resultierende Geschw.	Massendurchsatz <i>mittl. Geschw.</i>	Potentiallinie	Stromlinie
$w = \frac{\partial \psi}{\partial n} = \sqrt{u^2 + v^2} = \sqrt{v_r^2 + v_\phi^2}$	$\dot{m}_{1 \rightarrow 2} = \rho t \int_1^2 d\psi = \rho t (\psi_2 - \psi_1)$ $\frac{\dot{V}}{t} = \psi_2(x, y) - \psi_1(x, y) = b \cdot \langle v \rangle$ <i>tiefe</i>	$\phi = \text{konst.} \quad \left \frac{dy}{dx} = -\frac{u}{v} \right.$	$\psi = \text{konst.} \quad \left \frac{dy}{dx} = \frac{v}{u} \right.$
$\nabla(\phi) \cdot \nabla(\psi) = 0 \Rightarrow \text{Potentiallinie} \perp \text{Stromlinie}$ (7.58)			

Komplexe Strömung

Komplexes Geschwindigkeitspotential	Ebene Translationsströmung	Ebene Winkel- & Eckenströmung
(7.68) $F(z) = F(x + iy) = \phi(x, y) + i\psi(x, y)$	$F(z) = a \cdot z = (a_1 - ia_2) \cdot z$ $\phi = a_1 x + a_2 y$ $\psi = a_1 y - a_2 x$ $u = a_1$ $v = a_2$	$F(z) = \frac{a}{n} z^n = \frac{a}{n} r^n (\cos(n\phi) + i \sin(n\phi))$ $\phi = \frac{a}{n} r^n \cos(n\phi)$ $\psi = \frac{a}{n} r^n \sin(n\phi)$ (7.71)
(7.66) $w = u + iv$ (7.69) $w_* = u - iv = \frac{dF(z)}{dz}$	$p = p_0 - \frac{\rho}{2} a^2 r^{2(n-1)}$ (7.74)	$ w = az^{n-1} = a r^{n-1}$ (7.72)

Feste Wände	$\frac{1}{2} < n < 1$	$1 < n < 2$	$n > 2$
$\phi_{k,n} = k \frac{\pi}{n}$ $\varepsilon = \frac{\pi}{n}$ $\vartheta = \pi - \varepsilon = \pi \frac{n-1}{n}$	 Konvexe Ecke $ w \sim \frac{1}{r^{n-1}}$ $r = 0 \Rightarrow \text{Eckenumströmung mit } w = \infty$	 Konkave Ecke $ w \sim r^{n-1}$ $r = 0 \Rightarrow \text{Staupunkt}$	 $k = 1, \phi_{1,n} = \frac{\pi}{n}$ $C = 0$ $C \neq 0$ Stromlinien $k = 0, \phi_{0,n} = 0$

$n = \frac{1}{2}$	$n = 1$	$n = 2$
$F(z) = 2a\sqrt{z} = 2a\sqrt{r} \left(\cos\left(\frac{\phi}{2}\right) + i \sin\left(\frac{\phi}{2}\right) \right)$	$F(z) = a \cdot z$	$F(z) = \frac{a}{2} z^2$
$a = \text{reell}$ Ebene Randumströmung	$a = \text{reell}$ Ebene Translationsströmung	$a = \text{reell}$ Ebene Staupunktströmung
$a = \text{imaginär}$ 	$a = \text{imaginär}$ 	$a = \text{imaginär}$

Stromfkt. ist imaginärteil der komplexen Potentialfkt.

Potentialströmungen

Komplexe Strömung

Singularitätentabelle

für Konturlinie

Bezeichnung	Stromlinienbild	Komplexe Potentialfunktion	Skalare		Geschwindigkeitskomponenten			
			Potentialfunktion	Stromfunktion	u	v	$= -\frac{\partial \phi}{\partial x}$	$= -\frac{\partial \psi}{\partial y}$
		$F(z)$	$\phi(x, y)$	$\psi(x, y)$	$v_x(x, y)$	$v_y(x, y)$	$v_r(x, y)$	$v_\phi(x, y)$
		$F(r, \phi)$	$\phi(r, \phi)$	$\psi(r, \phi)$	$v_x(r, \phi)$	$v_y(r, \phi)$	$v_r(r, \phi)$	$v_\phi(r, \phi)$
Translationsströmung in x-Richtung		$u_\infty z$	$u_\infty x$	$u_\infty y$	u_∞	0	$u_\infty \frac{x}{\sqrt{x^2+y^2}}$	$-u_\infty \frac{y}{\sqrt{x^2+y^2}}$
		$u_\infty r e^{i\varphi}$	$u_\infty r \cos(\phi)$	$u_\infty r \sin(\phi)$	u_∞	0	$u_\infty \cos(\phi)$	$-u_\infty \sin(\phi)$
Translationsströmung in y-Richtung		$-i v_\infty z$	$v_\infty y$	$-v_\infty x$	0	v_∞	$v_\infty \frac{y}{\sqrt{x^2+y^2}}$	$v_\infty \frac{x}{\sqrt{x^2+y^2}}$
		$-i v_\infty r e^{i\varphi}$	$v_\infty r \sin(\phi)$	$-v_\infty r \cos(\phi)$	0	v_∞	$v_\infty \sin(\phi)$	$v_\infty \cos(\phi)$
Staupunkt-, Eckenströmung $a \in \mathbb{R}^+$		$\frac{a}{2} z^2$	$\frac{a}{2} (x^2 - y^2)$	axy	ax	$-ay$	$a \frac{x^2 - y^2}{\sqrt{x^2 + y^2}}$	$-a \frac{2xy}{\sqrt{x^2 + y^2}}$
		$\frac{a}{2} r^2 e^{i2\varphi}$	$\frac{a}{2} r^2 \cos(2\phi)$	$\frac{a}{2} r^2 \sin(2\phi)$	$ar \cos(\phi)$	$-ar \sin(\phi)$	$ar \cos(2\phi)$	$-ar \sin(2\phi)$
Quelle, Senke Ergiebigkeit $Q \neq 0$		$\frac{Q}{2\pi} \ln(z)$	$\frac{Q}{2\pi} \ln(\sqrt{x^2 + y^2})$	$\frac{Q}{2\pi} \arctan(\frac{y}{x})$	$\frac{Q}{2\pi} \frac{x}{x^2 + y^2}$	$\frac{Q}{2\pi} \frac{y}{x^2 + y^2}$	$\frac{Q}{2\pi} \frac{1}{\sqrt{x^2 + y^2}}$	0
		$\frac{Q}{2\pi} (\ln(r) + i\phi)$	$\frac{Q}{2\pi} \ln(r)$	$\frac{Q}{2\pi} \phi$	$\frac{Q}{2\pi} \frac{\cos(\varphi)}{r}$	$\frac{Q}{2\pi} \frac{\sin(\varphi)}{r}$	$\frac{Q}{2\pi} \frac{1}{r}$	0
Potentialwirbel Zirkulation $\Gamma \neq 0$		$-i \frac{\Gamma}{2\pi} \ln(z)$	$\frac{\Gamma}{2\pi} \arctan(\frac{y}{x})$	$-\frac{\Gamma}{2\pi} \ln(\sqrt{x^2 + y^2})$	$-\frac{\Gamma}{2\pi} \frac{y}{x^2 + y^2}$	$\frac{\Gamma}{2\pi} \frac{x}{x^2 + y^2}$	0	$\frac{\Gamma}{2\pi} \frac{1}{\sqrt{x^2 + y^2}}$
		$-\frac{\Gamma}{2\pi} (i \ln(r) - \phi)$	$\frac{\Gamma}{2\pi} \phi$	$-\frac{\Gamma}{2\pi} \ln(r)$	$-\frac{\Gamma}{2\pi} \frac{\sin(\varphi)}{r}$	$\frac{\Gamma}{2\pi} \frac{\cos(\varphi)}{r}$	0	$\frac{\Gamma}{2\pi} \frac{1}{r}$
Dipol Dipolachse: x-Achse		$-\frac{\mu}{2\pi} \frac{1}{z}$	$-\frac{\mu}{2\pi} \frac{x}{x^2 + y^2}$	$\frac{\mu}{2\pi} \frac{y}{x^2 + y^2}$	$\frac{\mu}{2\pi} \frac{x^2 - y^2}{(x^2 + y^2)^2}$	$\frac{\mu}{2\pi} \frac{2xy}{(x^2 + y^2)^2}$	$\frac{\mu}{2\pi} \frac{x}{\sqrt{(x^2 + y^2)^3}}$	$\frac{\mu}{2\pi} \frac{y}{\sqrt{(x^2 + y^2)^3}}$
		$-\frac{\mu}{2\pi} \frac{1}{r} e^{-i\varphi}$	$-\frac{\mu}{2\pi} \frac{\cos(\varphi)}{r}$	$\frac{\mu}{2\pi} \frac{\sin(\varphi)}{r}$	$\frac{\mu}{2\pi} \frac{\cos(2\varphi)}{r^2}$	$\frac{\mu}{2\pi} \frac{\sin(2\varphi)}{r^2}$	$\frac{\mu}{2\pi} \frac{\cos(\varphi)}{r^2}$	$\frac{\mu}{2\pi} \frac{\sin(\varphi)}{r^2}$
Dipol Dipolachse: y-Achse		$-i \frac{\mu}{2\pi} \frac{1}{z}$	$-\frac{\mu}{2\pi} \frac{y}{x^2 + y^2}$	$-\frac{\mu}{2\pi} \frac{x}{x^2 + y^2}$	$\frac{\mu}{2\pi} \frac{2xy}{(x^2 + y^2)^2}$	$-\frac{\mu}{2\pi} \frac{x^2 - y^2}{(x^2 + y^2)^2}$	$\frac{\mu}{2\pi} \frac{y}{\sqrt{(x^2 + y^2)^3}}$	$-\frac{\mu}{2\pi} \frac{x}{\sqrt{(x^2 + y^2)^3}}$
		$-i \frac{\mu}{2\pi} \frac{1}{r} e^{-i\varphi}$	$-\frac{\mu}{2\pi} \frac{\sin(\varphi)}{r}$	$-\frac{\mu}{2\pi} \frac{\cos(\varphi)}{r}$	$\frac{\mu}{2\pi} \frac{\sin(2\varphi)}{r^2}$	$-\frac{\mu}{2\pi} \frac{\cos(2\varphi)}{r^2}$	$\frac{\mu}{2\pi} \frac{\sin(\varphi)}{r^2}$	$-\frac{\mu}{2\pi} \frac{\cos(\varphi)}{r^2}$

$v_r = \frac{1}{r} \frac{\partial \psi}{\partial \phi}$ $v_\phi = -\frac{\partial \psi}{\partial r}$

$w'(z) = \frac{dF(z)}{dz}$
 $w'(z_{sp}) = 0$

$M = -\mu \left[\frac{m^3}{s} \right]$ $v \neq w$
 $E = Q \left[\frac{m^2}{s} \right]$

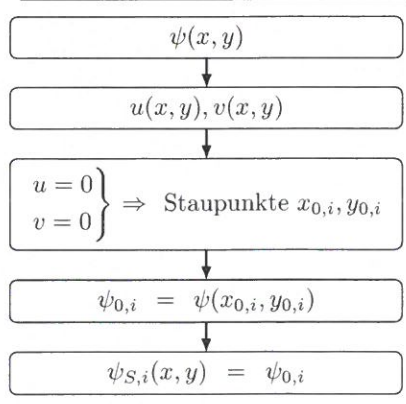
Potentialwirbel im Uhrzeigersinn an Profilspitze um Auftrieb über Druckunterschied zu simulieren.

Kreiszyylinder

Kutta-Joukowski'scher Auftriebssatz
 $F_y = F_A = b\rho u_\infty \Gamma$ (7.98)
 \Rightarrow Nur Wirbel trägt zum Auftrieb bei

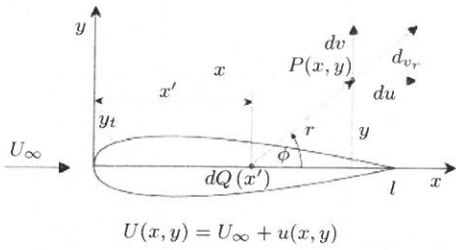
Druckverteilung
 $c_p(\phi) = \frac{p_w(\phi) - p_\infty}{\frac{\rho}{2} u_\infty^2} = 1 - \left(\frac{v_{\phi w}}{u_\infty} \right)^2 = 1 - \left(4 \sin^2(\phi) + \frac{2\Gamma \sin(\phi)}{\pi a u_\infty} + \left(\frac{\Gamma}{2\pi a u_\infty} \right)^2 \right)$
 $c_{p,max} = 1$ | $c_{p,min} = -3$
Inkompressibel

Strömungsbild Bestimmen



Tropfentheorie

Geschwindigkeiten



Allgemein (7.109)

$$U(x, y) = U_\infty + \frac{1}{2\pi} \int_0^l q(x') \frac{x-x'}{(x-x')^2 + y^2} dx'$$

$$V(x, y) = \frac{1}{2\pi} \int_0^l q(x') \frac{y}{(x-x')^2 + y^2} dx'$$

Dünnes Profil (Körperoberfläche)

$$U(x) = U_\infty \left(1 + \frac{1}{\pi} \int_0^l \frac{\frac{dy_t}{dx}(x')}{x-x'} dx' \right) \quad (7.116)$$

$$V(x) = \frac{q(x)}{2} \quad (7.117)$$

Kinematische Verträgl.

$$\frac{dy_t}{dx} = \frac{V(x)}{U(x)} \quad (7.112)$$

Druckverteilung

$$c_p = 1 - \frac{U^2 + V^2}{U_\infty^2} \quad (7.113)$$

Quell- & Senkenverteilung

Allgemein (7.110)

$$q(x) = 2 \frac{d}{dx} ((U_\infty + u) y_t)$$

Dünnes Profil (7.114)

$$q(x) = 2U_\infty \frac{dy_t(x)}{dx}$$

$$U_{Abs} = \sqrt{U^2 + V^2}$$

Riegels-Korrektur

Druckverteilung

$$c_{p, max} = -1$$

$$c_p = 1 - \left(\frac{U_k}{U_\infty} \right)^2 \quad (7.121)$$

Definition (7.119)

$$\kappa(x) = \frac{1}{\cos(\theta)} = \sqrt{1 + \tan^2(\theta)} = \sqrt{1 + \left(\frac{dy_t}{dx} \right)^2}$$

Geschwindigkeit (7.120)

$$U_k(x) = \frac{U}{\kappa(x)} = \frac{U_\infty}{\kappa(x)} \left(1 + \frac{1}{\pi} \int_0^l \frac{\frac{dy_t}{dx}(x')}{x-x'} dx' \right)$$

Fourier-Ansatz

Definition

(7.124)

$$Y_t = \frac{1}{2} \sum_{\nu=1}^n b_\nu \sin(\nu\phi)$$

(7.125)

$$X = \frac{1}{2} (1 + \cos(\phi))$$

Geschwindigkeit (7.129)

$$U_k(\phi) = \frac{U_\infty}{\kappa(\phi)} \left(1 + \sum_{\nu=1}^n \nu b_\nu \frac{\sin(\nu\phi)}{\sin(\phi)} \right)$$

Riegels-Faktor (7.130)

$$\kappa(\phi) = \sqrt{1 + \left(\frac{dY_t}{dX} \right)^2} = \sqrt{1 + \left(\frac{dY_t}{d\phi} \cdot \frac{d\phi}{dX} \right)^2}$$

$$\text{Bernoulli: } p_\infty + \frac{\rho}{2} U_\infty^2 = p_s + \frac{\rho}{2} U_s^2$$

Skeletttheorie

Geschwindigkeiten

Allgemein (7.143)

$$u(x, y) = \frac{1}{2\pi} \int_0^l \gamma(x') \frac{y - y_s(x')}{(x - x')^2 + (y - y_s(x'))^2} dx'$$

$$v(x, y) = -\frac{1}{2\pi} \int_0^l \gamma(x') \frac{x - x'}{(x - x')^2 + (y - y_s(x'))^2} dx'$$

Wirbel Auf x-Achse (7.147)

Gesamt

$$U(X) = U_\infty + \frac{\gamma(X)}{2} \text{sign}(Y - Y_s)$$

Induziert In y-Richtung

$$V(X) = U_\infty \alpha - \frac{1}{2\pi} \oint_0^1 \frac{\gamma(X')}{X - X'} dX'$$

$$v(X) = -\frac{1}{2\pi} \oint_0^1 \frac{\gamma(X')}{X - X'} dX'$$

Auftrieb

$$A = \rho U_\infty b \Gamma$$

(7.150)

Moment

$$M = -b \rho U_\infty \int_0^l \gamma(x) x dx$$

(7.153a)

Oberseite

$$p_o(x) = p_\infty - \frac{\rho}{2} U_\infty \gamma(x)$$

(7.149a)

Druck

Unterseite

$$p_u(x) = p_\infty + \frac{\rho}{2} U_\infty \gamma(x)$$

(7.149b)

Druckbeiwert

$$\Delta C_p = 2 \frac{\gamma(x)}{U_\infty}$$

(7.152)

Auftriebsbeiwert (7.151)

$$C_a = \frac{2}{U_\infty} \int_0^1 \gamma(X) dX = \int_0^1 \Delta C_p(X) dX$$

Skelettlinie

$$Y_s(X) = \alpha X - \frac{1}{2\pi} \int_0^1 \frac{\gamma(X')}{U_\infty} \ln \left| \frac{X - X'}{X'} \right| dX' \quad (7.155)$$

Momentenbeiwert (7.153b)

$$C_m = -\frac{2}{U_\infty} \int_0^1 \gamma(X) X dX = -\int_0^1 \Delta C_p(X) X dX$$

$$\alpha = \frac{1}{2\pi} \int_0^1 \frac{\gamma(X')}{U_\infty} \ln \left| \frac{1 - X'}{X'} \right| dX' \quad (7.156)$$

Ansatz Von Birnbaum-Ackermann & Glauert

Zirkulationsverteilung

$$(7.157) \quad \gamma(\phi) = 2U_\infty \left(A_0 \tan\left(\frac{\phi}{2}\right) + \sum_{n=1}^{\infty} A_n \sin(n\phi) \right)$$

Induzierte Geschwindigkeit (7.161)

$$\frac{v(\phi)}{U_\infty} = - \left(A_0 + \sum_{n=1}^N A_n \cos(n\phi) \right)$$

Auftriebsbeiwert

$$C_a = \pi (2A_0 + A_1)$$

(7.164 / 7.165)

$$(7.163) \quad A_0 = \alpha - \frac{1}{\pi} \int_0^\pi \frac{dY_s(X)}{dX} d\phi$$

Kinematische Strömungsbedingung

$$\alpha - \frac{dY_s(X)}{dX} = A_0 + \sum_{n=1}^N A_n \cos(n\phi)$$

Momentenbeiwert

$$C_m = -\frac{\pi}{4} (2A_0 + 2A_1 + A_2)$$

(7.166)

$$(7.163) \quad A_n = -\frac{2}{\pi} \int_0^\pi \frac{dY_s(X)}{dX} \cos(n\phi) d\phi$$

Druckpunktlage

$$(7.167) \quad \frac{x_A}{l} = -\frac{C_m}{C_a}$$

Überlagerung

$$\frac{U}{U_\infty} = 1 + \left(\frac{U_1}{U_\infty} - 1 \right) + \left(\frac{U_2}{U_\infty} - 1 \right) + \left(\frac{U_3}{U_\infty} - 1 \right)$$

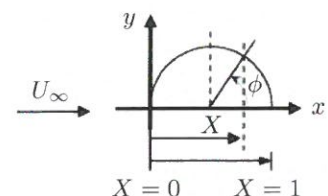
$$\text{Bed.: } \frac{\alpha}{\pi}, \frac{f}{l}, \frac{d}{l} \ll 1$$

Skelettlinie

$$Y_s(X) = \alpha X - A_0 X - \int_0^X \sum_{n=1}^N A_n \cos(n\phi) dX \quad (7.162b)$$

Transformation

$$X = \frac{1}{2} (1 + \cos(\phi)) \quad (7.158a)$$



Energiesatz

<u>Thermische Zustandsgleichung</u>	<u>Enthalpie</u>	<u>Innere Energie</u>	<u>Entropie</u>
$pV = mRT$	$h = e + pv = c_p T$ (8.9) (8.23d)	$e = c_v T$ (8.23c)	$ds = \frac{dq_{rev}}{T} + ds_{irr}$ (8.10)
$p = \rho RT$ (1.5)			
<u>1. Hauptsatz</u> (8.1) (8.11) $de = dq + dw = Tds - pdv$ $dq = dh - vdp$	<u>Maxwell-Beziehung</u> $\left. \frac{\partial e}{\partial v} \right _T = T \left. \frac{\partial p}{\partial T} \right _v - p$ (8.14)	<u>Spezifische Wärmekapazität</u>	
	<u>Konstantes Volumen</u> $c_v = \left. \frac{\partial e}{\partial T} \right _v = \frac{R}{\kappa - 1}$ (8.21a) (8.23b)	<u>Konstanter Druck</u> $c_p = \left. \frac{\partial h}{\partial T} \right _p = R \frac{\kappa}{\kappa - 1}$ (8.21b) (8.23a)	<u>Zusammenhang</u> $R = c_p - c_v$ (8.22)
<u>Isentropenexponent</u> $\kappa = \frac{c_p}{c_v}$ (8.23e) Einatomig: $\kappa = \frac{5}{3}$ Zweiatomig: $\kappa = \frac{7}{5}$	<u>Entropieänderung</u> $\Delta s = R \ln \left(\frac{\rho_1}{\rho_2} \left(\frac{T_2}{T_1} \right)^{\frac{1}{\kappa-1}} \right)$	<u>Isentropenbeziehungen</u> $\frac{p}{\rho^\kappa} = \text{konst.}$ (9.18) $\frac{\rho_2}{\rho_1} = \left(\frac{T_2}{T_1} \right)^{\frac{1}{\kappa-1}}$ (8.28a) $\frac{p_2}{p_1} = \left(\frac{\rho_2}{\rho_1} \right)^\kappa = \left(\frac{T_2}{T_1} \right)^{\frac{\kappa}{\kappa-1}}$ (8.28b)	

Energiegleichung

Nicht-Konservativ (8.39)

$$\rho \frac{D}{Dt} \left(e + \frac{V^2}{2} \right) = \rho \dot{q} + \frac{\partial}{\partial x} \left(k \frac{\partial T}{\partial x} \right) + \frac{\partial}{\partial y} \left(k \frac{\partial T}{\partial y} \right) + \frac{\partial}{\partial z} \left(k \frac{\partial T}{\partial z} \right) - \frac{\partial(uv)}{\partial x} - \frac{\partial(vv)}{\partial y} - \frac{\partial(wp)}{\partial z} + \frac{\partial(u\tau_{xx})}{\partial x} + \frac{\partial(u\tau_{yx})}{\partial y} + \frac{\partial(u\tau_{zx})}{\partial z} + \frac{\partial(v\tau_{xy})}{\partial x} + \frac{\partial(v\tau_{yy})}{\partial y} + \frac{\partial(v\tau_{zy})}{\partial z} + \frac{\partial(w\tau_{xz})}{\partial x} + \frac{\partial(w\tau_{yz})}{\partial y} + \frac{\partial(w\tau_{zx})}{\partial z} + \rho \mathbf{f} \cdot \mathbf{V}$$

Konservativ (8.51)

$$\frac{\partial}{\partial t} \left(\rho \left(e + \frac{V^2}{2} \right) \right) + \nabla \cdot \left(\rho \left(e + \frac{V^2}{2} \right) \mathbf{V} \right) = \rho \dot{q} + \frac{\partial}{\partial x} \left(k \frac{\partial T}{\partial x} \right) + \frac{\partial}{\partial y} \left(k \frac{\partial T}{\partial y} \right) + \frac{\partial}{\partial z} \left(k \frac{\partial T}{\partial z} \right) - \frac{\partial(uv)}{\partial x} - \frac{\partial(vv)}{\partial y} - \frac{\partial(wp)}{\partial z} + \frac{\partial(u\tau_{xx})}{\partial x} + \frac{\partial(u\tau_{yx})}{\partial y} + \frac{\partial(u\tau_{zx})}{\partial z} + \frac{\partial(v\tau_{xy})}{\partial x} + \frac{\partial(v\tau_{yy})}{\partial y} + \frac{\partial(v\tau_{zy})}{\partial z} + \frac{\partial(w\tau_{xz})}{\partial x} + \frac{\partial(w\tau_{yz})}{\partial y} + \frac{\partial(w\tau_{zx})}{\partial z} + \rho \mathbf{f} \cdot \mathbf{V}$$

Energiegleichung Der Laminaren Grenzschicht

Allgemein (8.77)

$$\rho u \frac{\partial}{\partial x} \left(c_p T + \frac{u^2}{2} \right) + \rho v \frac{\partial}{\partial y} \left(c_p T + \frac{u^2}{2} \right) = \frac{\partial}{\partial y} \left(k \frac{\partial T}{\partial y} \right) + \frac{\partial}{\partial y} \left(\eta u \frac{\partial u}{\partial y} \right)$$

Pr=1

Definition (8.78)

$$\rho u \frac{\partial}{\partial x} \left(c_p T + \frac{u^2}{2} \right) + \rho v \frac{\partial}{\partial y} \left(c_p T + \frac{u^2}{2} \right) = \frac{\partial}{\partial y} \left(\eta \frac{\partial}{\partial y} \left(c_p T + \frac{u^2}{2} \right) \right)$$

$\frac{dp}{dx}$ Beliebig (8.79)

$$T + \frac{u^2}{2c_p} = T_{0\infty} \Rightarrow r = 1$$

$\frac{dp}{dx} = 0$ (8.84)

$$T(u) = T_W + \frac{u}{u_e} (T_{0e} - T_W) - \frac{u_e^2}{2c_p} \left(\frac{u}{u_e} \right)^2 \approx 0 \text{ für } Ma \ll 1$$

Recovery-Faktor

(8.76a)

$$r = \frac{2}{(\kappa - 1) Ma_e^2} \left(\frac{T_{aw}}{T_e} - 1 \right) \approx \begin{cases} \sqrt{\text{Pr}} & \text{für laminare Grenzschicht} \\ \sqrt[3]{\text{Pr}} & \text{für turbulente Grenzschicht} \end{cases}$$

Recovery-Temperatur

$$T_r = T_e + r \frac{u_e^2}{2c_p} \quad (8.81)$$

Prandtl-Zahl

$$\text{Pr} = \frac{\eta c_p}{k}$$

Reynolds-Analogie

(8.89) Definition

$$\dot{q}_W = c_p \frac{T_r - T_W}{u_e} \tau_W$$

(8.91)

$$\text{St} = \frac{\dot{q}_W}{\rho_e u_e c_p (T_r - T_W)} \approx \begin{cases} \frac{c_f}{2} & \text{für Pr=1} \\ \frac{c_f}{2} \text{Pr}^{-\frac{2}{3}} & \text{für Pr=1} \\ \text{korrr: für Pr > 0.5} \end{cases}$$

Stanton-Zahl

$$c_f = \frac{2\tau_W}{\rho_e u_e^2} = \frac{0,664}{\sqrt{\text{Re}_x}} \quad (8.90) \quad (8.94)$$

(8.94)

$$\text{Re}_x = \frac{\rho_e u_e x}{\eta}$$

Energiegleichung Der Turbulenten Grenzschicht ($Ma \ll 1$)

Allgemein (8.104)

$$\rho \bar{u} \frac{\partial \bar{T}}{\partial x} + \rho \bar{v} \frac{\partial \bar{T}}{\partial y} = \frac{k}{c_p} \frac{\partial^2 \bar{T}}{\partial y^2} - \rho \frac{\partial (\overline{v'T'})}{\partial y}$$

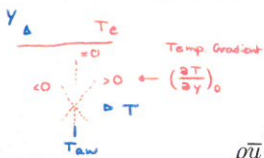
recovery-Faktor:

$$r = \frac{T_{aw} - T_e}{u_e^2 / 2 \cdot c_p}$$

$$\frac{T_{aw}}{T_e} = 1 + r \frac{(\kappa - 1)}{2} Ma_e^2$$

Lösung

$$\bar{T} = T_W + (T_{0e} - T_W) \frac{\bar{u}}{u_e} \quad (8.106)$$



Gasdynamik $\gamma_{\text{Luft}} = \gamma_{\text{O}_2} = \gamma_{\text{N}_2} = 1.4$

<u>Massenerhaltung</u> $\frac{\partial(\rho A)}{\partial t} + \frac{\partial(\rho AV)}{\partial x} = 0$ <p style="text-align: center;">(9.4 b)</p>	<u>Impulssatz</u> $\rho \frac{DV}{Dt} = - \frac{\partial p}{\partial x}$ <p style="text-align: center;">(9.5)</p>	<u>Energieerhaltung</u> $\frac{Dh_0}{Dt} = \frac{1}{\rho} \frac{\partial p}{\partial t}$ <p style="text-align: center;">(9.8)</p>	<u>Entropieänderung</u> $\frac{Ds}{Dt} = 0$ <p style="text-align: center;">(9.10)</p>
---	--	--	--

Schallgeschwindigkeit

$$c = \sqrt{\kappa RT} = \sqrt{\kappa \frac{p}{\rho}}$$

<u>Massenerhaltung</u> $\dot{m} = \rho AV = \text{konst.}$ <p style="text-align: center;">(9.12b)</p>	<u>Impulssatz</u> $\frac{V^2}{2} + \int \frac{1}{\rho} dp = \text{konst.}$ <p style="text-align: center;">(9.14a)</p>	<u>Energiegleichung</u> $h_0 = h + \frac{V^2}{2} = \text{konst.}$ <p style="text-align: center;">(9.15b)</p>
--	--	---

Kritisch

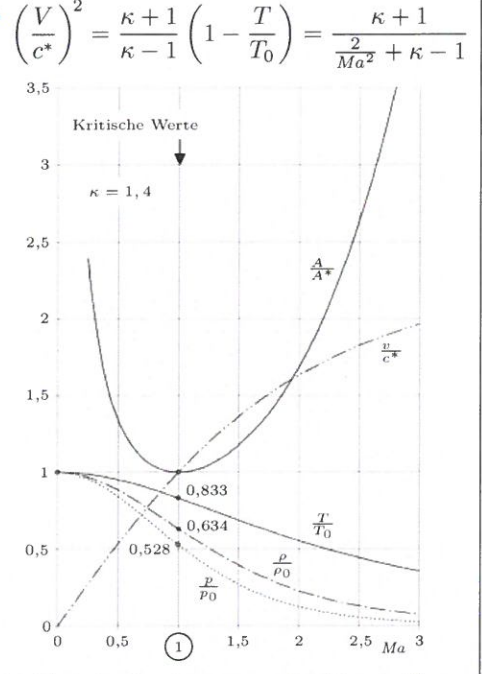
(9.22a) \rightarrow

$$c_L = c^* = \sqrt{\frac{2}{\kappa+1}} c_0 = \sqrt{2 \frac{\kappa}{\kappa+1} RT_0}$$

(9.21b)

Stationäre Stromröhre

Adiabate Strömungsvorgänge Größere Umkehrung im schrägen Stoß \rightarrow Größere Totdruckverl. Mit $Ma = 1$:



Ruhezustand

Max. Temp. bleibt vor Brennkammer gleich

$$\frac{T_0}{T} = 1 + \frac{\kappa-1}{2} Ma^2 \quad (9.19)$$

Bleibt nach Brennkammer gleich (9.20a) \rightarrow

$$\frac{p_0}{p} = \left(\frac{T_0}{T}\right)^{\frac{\kappa}{\kappa-1}} = \left(1 + \frac{\kappa-1}{2} Ma^2\right)^{\frac{\kappa}{\kappa-1}}$$

$$\frac{\rho_0}{\rho} = \left(\frac{T_0}{T}\right)^{\frac{1}{\kappa-1}} = \left(1 + \frac{\kappa-1}{2} Ma^2\right)^{\frac{1}{\kappa-1}} \quad (9.20 b)$$

$$h_0 = h + \frac{V^2}{2} \Leftrightarrow T_0 = T + \frac{V^2}{2c_p} \quad (8.60)$$

Kritischer Zustand

$$\frac{T^*}{T_0} = \frac{2}{\kappa+1} \rightarrow \text{aus (9.19)}$$

$$\frac{p^*}{p_0} = \left(\frac{2}{\kappa+1}\right)^{\frac{\kappa}{\kappa-1}} \rightarrow \text{aus (9.20a)}$$

$$\frac{\rho^*}{\rho_0} = \left(\frac{2}{\kappa+1}\right)^{\frac{1}{\kappa-1}} \rightarrow \text{aus (9.20b)}$$

$$\frac{A}{A^*} = \frac{1}{Ma} \left[\frac{2}{\kappa+1} \left(1 + \frac{\kappa-1}{2} Ma^2\right) \right]^{\frac{\kappa+1}{2(\kappa-1)}} \quad (9.26) \quad \text{B7}$$

$$\dot{m} = \frac{Ma}{\left(1 + \frac{\kappa-1}{2} Ma^2\right)^{\frac{\kappa+1}{2(\kappa-1)}}} \sqrt{\frac{\kappa}{RT_0}} p_0 A = \left(\frac{2}{\kappa+1}\right)^{\frac{\kappa+1}{2(\kappa-1)}} \sqrt{\frac{\kappa}{RT_0}} p_0 A^* \quad (9.24)$$

<u>Machzahl</u> $Ma = \frac{V}{c}$	<u>Lavalzahl</u> $La = \frac{V}{c^*} = \sqrt{\frac{\kappa+1}{2 + (\kappa-1) Ma^2}} Ma$	$La_{\text{max}} = \sqrt{\frac{\kappa+1}{\kappa-1}}$ <p>Luft: $La_{\text{max}} = 2,449$</p>
---------------------------------------	---	--

Stationäre Senkrechte Verdichtungsstöße

Erhaltungssätze

$$\rho_1 V_1 = \rho_2 V_2$$

$$\rho_1 V_1^2 + p_1 = \rho_2 V_2^2 + p_2$$

$$h_1 + \frac{V_1^2}{2} = h_2 + \frac{V_2^2}{2}$$

Stoß

Stoßbeziehungen

$$\frac{p_2}{p_1} = \frac{2\kappa Ma_1^2 - \kappa + 1}{\kappa + 1} \quad (9.38 c) \quad f938c(p_1, p_2, \kappa, Ma)$$

$$\frac{\rho_2}{\rho_1} = \frac{(\kappa + 1) Ma_1^2}{2 + (\kappa - 1) Ma_1^2} \quad (9.38 b) \quad f938b(p_1, \rho_2, \kappa, Ma)$$

$$\frac{T_2}{T_1} = \frac{h_2}{h_1} = \frac{V_2^2}{V_1^2} = \frac{(2\kappa Ma_1^2 - \kappa + 1)(2 + (\kappa - 1) Ma_1^2)}{(\kappa + 1)^2 Ma_1^2}$$

$$Ma_2 = \sqrt{\frac{(\kappa - 1)(Ma_1^2 - 1) + \kappa + 1}{2\kappa (Ma_1^2 - 1) + \kappa + 1}} \quad (9.35) \quad f935(Ma_1, Ma_2, \kappa)$$

Rankine-Hugoniot-Beziehung

$$e_2 - e_1 = \frac{p_1 + p_2}{2} (v_1 - v_2) \quad (9.52)$$

$$\frac{p_2}{p_1} = \frac{(\kappa + 1)\rho_2 - (\kappa - 1)\rho_1}{(\kappa + 1)\rho_1 - (\kappa - 1)\rho_2} \quad (9.51)$$

Rayleigh-Gerade

$$\frac{p_2 - p_1}{v_2 - v_1} = - \left(\frac{u_1}{v_1}\right)^2$$

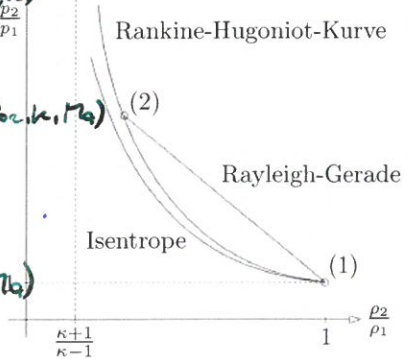
Entropiezunahme

$$s_2 - s_1 = R \ln \left(\frac{\rho_1}{\rho_2} \left(\frac{T_2}{T_1}\right)^{\frac{1}{\kappa-1}} \right)$$

$$= R \ln \left(\frac{p_{01}}{p_{02}} \right)$$

(9.40)

Rayleigh-Pitot-Formel

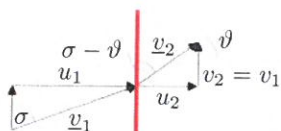
$$\frac{p_{\text{pitot}}}{p_1} = \left[\frac{\left(\frac{\kappa+1}{2}\right)^{\kappa+1} Ma_1^{2\kappa}}{\left(1 + \frac{\kappa-1}{2} Ma_1^2\right)^\kappa (\kappa Ma_1^2 - \frac{\kappa-1}{2})} \right]^{\frac{1}{\kappa-1}} \quad (9.41) \quad f941(p_1, p_{\text{pitot}}, \kappa, Ma)$$


Gasdynamik

Antrieb, Widerstand
Beispiel: H₂O, Aufgabe 2c

Schräge Verdichtungsstöße

Stoßbeziehungen "Statistischer Druck"



(aus 9.43)

$$Ma_{1n} = Ma_1 \sin(\sigma)$$

$$Ma_{2n} = Ma_2 \sin(\sigma - \theta)$$

(9.74b mit 9.47a und 9.44) →

$$\frac{T_2}{T_1} = \frac{V_2^2}{V_1^2} = \frac{p_2 \rho_1}{p_1 \rho_2} = \frac{(2\kappa Ma_1^2 \sin^2(\sigma) - \kappa + 1)(2 + (\kappa - 1)Ma_1^2 \sin^2(\sigma))}{(\kappa + 1)^2 Ma_1^2 \sin^2(\sigma)}$$

$$\Delta = \tau = \frac{p_{02}/p_{01}}{p_{02}/p_{01}}$$

f959(Ma1, Ma2, kappa, sigma, theta)

(9.59)

XLVii

$$\frac{Ma_1}{Ma_2} = \frac{1 + \frac{2\kappa}{\kappa+1}(Ma_1^2 \sin^2(\sigma) - 1)}{1 - \frac{2}{\kappa+1}\left(1 - \frac{1}{Ma_1^2 \sin^2(\sigma)}\right)} \frac{\sin(\sigma - \theta)}{\sin(\sigma)}$$

$\frac{p_{01}}{p_{02}} = \frac{p_{01}}{p_{02}} \cdot \frac{p_{02}}{p_{01}}$; Maximaler Druckverlust für $\sigma = 90^\circ$

$$(9.58) \frac{p_{02}}{p_{01}} = \left[\frac{\left(\frac{\kappa+1}{2}\right)^{\kappa+1} (Ma_1 \sin(\sigma))^{2\kappa}}{\left(1 + \frac{\kappa-1}{2} (Ma_1 \sin(\sigma))^2\right)^\kappa (\kappa (Ma_1 \sin(\sigma))^2 - \frac{\kappa-1}{2})} \right]^{\frac{1}{\kappa-1}}$$

f958(p01, p02, kappa, Ma, sigma)

Öffnungskegel

$\mu = \arcsin\left(\frac{1}{Ma}\right)$ möglich
 $\delta = \mu_2 - \mu_1 + \Delta\vartheta_{12}$
 $\mu_2 = \arcsin\left(\frac{1}{Ma_2}\right)$

(9.75) $\nu(Ma_2) = \nu(Ma_1) + \Delta\vartheta_{12}$

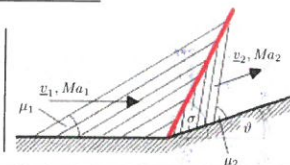
Prandtl-Meyer-Funktion (9.74) f974(V, kappa, Ma)

Umlenkwinkel dann $\Delta\vartheta = \nu_2 - \nu_1 = \Delta\vartheta_{12}$
 $\nu(Ma) = \sqrt{\frac{\kappa+1}{\kappa-1}} \arctan\left(\sqrt{\frac{\kappa-1}{\kappa+1}(Ma^2-1)}\right) - \arctan(\sqrt{Ma^2-1}) [^\circ]$
 Wenn $Ma > 720,454 \rightarrow$ unmöglich \rightarrow Grenzfalle betrachten.

Machsche Welle

(9.67)

$$\mu = \arcsin\left(\frac{1}{Ma}\right) \leq \sigma \leq \frac{\pi}{2}$$



f949(k, Ma, sigma, theta) Umlenkwinkel

(9.49)

XLV $\tan(\vartheta) = \cot(\sigma) \frac{Ma_1^2 \sin^2(\sigma) - 1}{1 + \left(\frac{\kappa+1}{2} - \sin^2(\sigma)\right) Ma_1^2}$

Entropiezunahme (Ideales Gas)

(9.47c) $s_2 - s_1 = c_v \ln\left(\frac{p_2}{p_1} \left(\frac{\rho_1}{\rho_2}\right)^\kappa\right)$

Schräge Stoßexpansion (9.77a)

f977a(T1, T2, kappa, Ma1, Ma2) f977b(p1, p2, kappa, Ma1, Ma2)

$$\frac{T_2}{T_1} = \frac{1 + \frac{\kappa-1}{2} Ma_1^2}{1 + \frac{\kappa-1}{2} Ma_2^2} \quad \frac{p_2}{p_1} = \left(\frac{1 + \frac{\kappa-1}{2} Ma_1^2}{1 + \frac{\kappa-1}{2} Ma_2^2}\right)^{\frac{\kappa}{\kappa-1}}$$

Instationäre Eindimensionale Strömung $\rightarrow \mu_2 = 0$

Kolbengeschwindigkeit

$$\frac{V'_k}{c_1} = \frac{2}{\kappa+1} \frac{Ma_s^2 - 1}{Ma_s}$$

Machzahl $\rightarrow Ma_2 = \infty$

$$Ma'_2 = \frac{Ma_s^2 - 1}{\sqrt{\left(1 + \frac{\kappa-1}{2} Ma_s^2\right) (\kappa Ma_s^2 - \frac{\kappa-1}{2})}}$$

Stoßbeziehungen

$$\frac{p'_2}{p'_1} = \frac{2\kappa Ma_s^2 - \kappa + 1}{\kappa + 1}$$

$$\frac{p'_{02}}{p'_{01}} = \left(\frac{\kappa + 1}{2\kappa Ma_s^2 - \kappa + 1}\right)^{\frac{1}{\kappa-1}} \left(\frac{Ma_s^2 (2(\kappa-1)Ma_s^2 + (3-\kappa))}{2 + (\kappa-1)Ma_s^2}\right)^{\frac{\kappa}{\kappa-1}}$$

$$\frac{T'_2}{T'_1} = \frac{(2\kappa Ma_s^2 - \kappa + 1)(2 + (\kappa-1)Ma_s^2)}{(\kappa + 1)^2 Ma_s^2}$$

$$\frac{T'_{02}}{T'_1} = \frac{2}{\kappa + 1} \left(\kappa - 1\right) Ma_s^2 + \frac{3 - \kappa}{2}$$

$Ma_s > 7$

$$Ma_2 \approx \sqrt{\frac{\kappa-1}{2\kappa}}$$

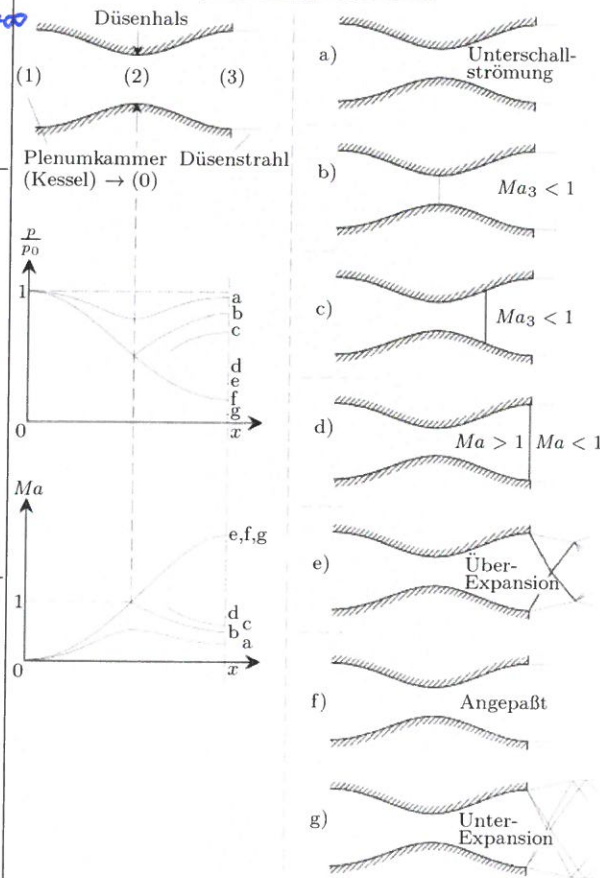
$$Ma'_2 \approx \sqrt{\frac{2}{\kappa(\kappa-1)}}$$

$$\frac{p_{02}}{p_{01}} \approx \left(\frac{\kappa+1}{2\kappa} \left(\frac{\kappa+1}{\kappa-1}\right)^\kappa \frac{1}{Ma_s^2}\right)^{\frac{1}{\kappa-1}} \quad \frac{p'_{02}}{p'_{01}} = \frac{p'_{02}}{p'_1} = \frac{p'_{02}}{p_1} \approx \left(\frac{\kappa+1}{\kappa}\right)^{\frac{1}{\kappa-1}} Ma_s^2$$

$$\frac{T_2}{T_1} \approx 2\kappa \frac{(\kappa-1)}{(\kappa+1)^2} Ma_s^2 \quad \frac{T'_{02}}{T'_{01}} = \frac{T'_{02}}{T'_1} = \frac{T'_{02}}{T_1} \approx 2 \frac{(\kappa-1)}{\kappa+1} Ma_s^2$$

$$\frac{p_2}{p_1} = \frac{p'_2}{p'_1} \approx \frac{2\kappa}{\kappa+1} Ma_s^2$$

Düsenströmung



Anhang D.

Isentrope Strömung (Ideales Gas; $\kappa = 1,4$)

Für "Vor der Düse" Aufgaben z.B. $\frac{A}{A^*}$ in der Düse mit ... hier vergleichen und danach die restlichen ... berechnen.

Ma	La	$\frac{p}{p_0}$	$\frac{\rho}{\rho_0}$	$\frac{T}{T_0}$	$\frac{A}{A^*}$
0	0	1.00000	1.00000	1.00000	∞
.01	.0110	.99993	.99995	.99998	57.87384
.02	.0219	.99972	.99980	.99992	28.94213
.03	.0329	.99937	.99955	.99982	19.30054
.04	.0438	.99888	.99920	.99968	14.48149
.05	.0548	.99825	.99875	.99950	11.59144
.06	.0657	.99748	.99820	.99928	9.66591
.07	.0766	.99658	.99755	.99902	8.29153
.08	.0876	.99553	.99681	.99872	7.26161
.09	.0985	.99435	.99596	.99838	6.46134
.10	.1094	.99303	.99502	.99800	5.82183
.11	.1204	.99158	.99398	.99759	5.29923
.12	.1313	.98998	.99284	.99713	4.86432
.13	.1422	.98826	.99160	.99663	4.49686
.14	.1531	.98640	.99027	.99610	4.18240
.15	.1639	.98441	.98884	.99552	3.91034
.16	.1748	.98228	.98731	.99491	3.67274
.17	.1857	.98003	.98569	.99425	3.46351
.18	.1965	.97765	.98398	.99356	3.27793
.19	.2074	.97514	.98218	.99283	3.11226
.20	.2182	.97250	.98028	.99206	2.96352
.21	.2290	.96973	.97829	.99126	2.82929
.22	.2398	.96685	.97620	.99041	2.70760
.23	.2506	.96383	.97403	.98953	2.59681
.24	.2614	.96070	.97177	.98861	2.49556
.25	.2722	.95745	.96942	.98765	2.40271
.26	.2829	.95408	.96698	.98666	2.31729
.27	.2936	.95060	.96446	.98563	2.23847
.28	.3043	.94700	.96185	.98456	2.16555
.29	.3150	.94329	.95916	.98346	2.09793
.30	.3257	.93947	.95638	.98232	2.03507
.31	.3364	.93554	.95352	.98114	1.97651
.32	.3470	.93150	.95058	.97993	1.92185
.33	.3576	.92736	.94756	.97868	1.87074
.34	.3682	.92312	.94446	.97740	1.82288
.35	.3788	.91877	.94128	.97609	1.77797
.36	.3893	.91433	.93803	.97473	1.73578
.37	.3999	.90979	.93470	.97335	1.69609
.38	.4104	.90516	.93130	.97193	1.65870
.39	.4209	.90043	.92782	.97048	1.62343
.40	.4313	.89561	.92427	.96899	1.59014
.41	.4418	.89071	.92066	.96747	1.55867
.42	.4522	.88572	.91697	.96592	1.52891
.43	.4626	.88065	.91322	.96434	1.50072
.44	.4729	.87550	.90940	.96272	1.47401
.45	.4833	.87027	.90551	.96108	1.44867
.46	.4936	.86496	.90157	.95940	1.42463
.47	.5038	.85958	.89756	.95769	1.40180
.48	.5141	.85413	.89349	.95595	1.38010
.49	.5243	.84861	.88936	.95418	1.35947

Ma	La	$\frac{p}{p_0}$	$\frac{\rho}{\rho_0}$	$\frac{T}{T_0}$	$\frac{A}{A^*}$
.50	.5345	.84302	.88517	.95238	1.33984
.51	.5447	.83737	.88093	.95055	1.32117
.52	.5548	.83165	.87663	.94869	1.30339
.53	.5649	.82588	.87228	.94681	1.28645
.54	.5750	.82005	.86788	.94489	1.27032
.55	.5851	.81417	.86342	.94295	1.25495
.56	.5951	.80823	.85892	.94098	1.24029
.57	.6051	.80224	.85437	.93898	1.22633
.58	.6150	.79621	.84978	.93696	1.21301
.59	.6249	.79013	.84514	.93491	1.20031
.60	.6348	.78400	.84045	.93284	1.18820
.61	.6447	.77784	.83573	.93073	1.17665
.62	.6545	.77164	.83096	.92861	1.16565
.63	.6643	.76540	.82616	.92646	1.15515
.64	.6740	.75913	.82132	.92428	1.14515
.65	.6837	.75283	.81644	.92208	1.13562
.66	.6934	.74650	.81153	.91986	1.12654
.67	.7031	.74014	.80659	.91762	1.11789
.68	.7127	.73376	.80162	.91535	1.10965
.69	.7223	.72735	.79661	.91306	1.10182
.70	.7318	.72093	.79158	.91075	1.09437
.71	.7413	.71448	.78652	.90841	1.08729
.72	.7508	.70803	.78143	.90606	1.08057
.73	.7602	.70155	.77632	.90369	1.07419
.74	.7696	.69507	.77119	.90129	1.06814
.75	.7789	.68857	.76604	.89888	1.06242
.76	.7883	.68207	.76086	.89644	1.05700
.77	.7975	.67556	.75567	.89399	1.05188
.78	.8068	.66905	.75046	.89152	1.04705
.79	.8160	.66254	.74523	.88903	1.04251
.80	.8251	.65602	.73999	.88652	1.03823
.81	.8343	.64951	.73474	.88400	1.03422
.82	.8433	.64300	.72947	.88146	1.03046
.83	.8524	.63650	.72419	.87890	1.02696
.84	.8614	.63000	.71891	.87633	1.02370
.85	.8704	.62351	.71361	.87374	1.02067
.86	.8793	.61703	.70831	.87114	1.01787
.87	.8882	.61057	.70300	.86852	1.01530
.88	.8970	.60412	.69768	.86589	1.01294
.89	.9058	.59768	.69236	.86324	1.01080
.90	.9146	.59126	.68704	.86059	1.00886
.91	.9233	.58486	.68172	.85791	1.00713
.92	.9320	.57848	.67640	.85523	1.00560
.93	.9406	.57211	.67108	.85253	1.00426
.94	.9493	.56578	.66576	.84982	1.00311
.95	.9578	.55946	.66044	.84710	1.00215
.96	.9663	.55317	.65513	.84437	1.00136
.97	.9748	.54691	.64982	.84162	1.00076
.98	.9832	.54067	.64452	.83887	1.00034
.99	.9916	.53446	.63923	.83611	1.00008

Anhang B.2

Senkrechter Stoß (Ideales Gas; $\kappa = 1,4$)

Ma_1	Ma_2	$\frac{p_2}{p_1}$	$\frac{\rho_2}{\rho_1}$	$\frac{T_2}{T_1}$	$\frac{p_{02}}{p_{01}}$	Ma_1	Ma_2	$\frac{p_2}{p_1}$	$\frac{\rho_2}{\rho_1}$	$\frac{T_2}{T_1}$	$\frac{p_{02}}{p_{01}}$
1.00	1.00000	1.00000	1.00000	1.00000	1.00000	1.50	.70109	2.45833	1.86207	1.32022	.92979
1.01	.99013	1.02345	1.01669	1.00664	1.00000	1.51	.69758	2.49345	1.87918	1.32688	.92659
1.02	.98052	1.04713	1.03344	1.01325	.99999	1.52	.69413	2.52880	1.89626	1.33357	.92332
1.03	.97115	1.07105	1.05024	1.01981	.99997	1.53	.69073	2.56438	1.91331	1.34029	.92000
1.04	.96203	1.09520	1.06709	1.02634	.99992	1.54	.68739	2.60020	1.93033	1.34703	.91662
1.05	.95313	1.11958	1.08398	1.03284	.99985	1.55	.68410	2.63625	1.94731	1.35379	.91319
1.06	.94445	1.14420	1.10092	1.03931	.99975	1.56	.68087	2.67253	1.96427	1.36057	.90970
1.07	.93598	1.16905	1.11790	1.04575	.99961	1.57	.67769	2.70905	1.98119	1.36738	.90615
1.08	.92771	1.19413	1.13492	1.05217	.99943	1.58	.67455	2.74580	1.99808	1.37422	.90255
1.09	.91965	1.21945	1.15199	1.05856	.99920	1.59	.67147	2.78278	2.01493	1.38108	.89890
1.10	.91177	1.24500	1.16908	1.06494	.99893	1.60	.66844	2.82000	2.03175	1.38797	.89520
1.11	.90408	1.27078	1.18621	1.07129	.99860	1.61	.66545	2.85745	2.04852	1.39488	.89145
1.12	.89656	1.29680	1.20338	1.07763	.99821	1.62	.66251	2.89513	2.06526	1.40182	.88765
1.13	.88922	1.32305	1.22057	1.08396	.99777	1.63	.65962	2.93305	2.08196	1.40879	.88381
1.14	.88204	1.34953	1.23779	1.09027	.99726	1.64	.65677	2.97120	2.09863	1.41578	.87992
1.15	.87502	1.37625	1.25504	1.09658	.99669	1.65	.65396	3.00958	2.11525	1.42280	.87599
1.16	.86816	1.40320	1.27231	1.10287	.99605	1.66	.65119	3.04820	2.13183	1.42985	.87201
1.17	.86145	1.43038	1.28961	1.10916	.99535	1.67	.64847	3.08705	2.14836	1.43693	.86800
1.18	.85488	1.45780	1.30693	1.11544	.99457	1.68	.64579	3.12613	2.16486	1.44403	.86394
1.19	.84846	1.48545	1.32426	1.12172	.99372	1.69	.64315	3.16545	2.18131	1.45117	.85985
1.20	.84217	1.51333	1.34161	1.12799	.99280	1.70	.64054	3.20500	2.19772	1.45833	.85572
1.21	.83601	1.54145	1.35898	1.13427	.99180	1.71	.63798	3.24478	2.21408	1.46552	.85156
1.22	.82999	1.56980	1.37636	1.14054	.99073	1.72	.63545	3.28480	2.23040	1.47274	.84736
1.23	.82408	1.59838	1.39376	1.14682	.98958	1.73	.63296	3.32505	2.24667	1.47999	.84312
1.24	.81830	1.62720	1.41116	1.15309	.98836	1.74	.63051	3.36553	2.26289	1.48727	.83886
1.25	.81264	1.65625	1.42857	1.15937	.98706	1.75	.62809	3.40625	2.27907	1.49458	.83457
1.26	.80709	1.68553	1.44599	1.16566	.98568	1.76	.62570	3.44720	2.29520	1.50192	.83024
1.27	.80164	1.71505	1.46341	1.17195	.98422	1.77	.62335	3.48838	2.31128	1.50929	.82589
1.28	.79631	1.74480	1.48084	1.17825	.98268	1.78	.62104	3.52980	2.32731	1.51669	.82151
1.29	.79108	1.77478	1.49827	1.18456	.98107	1.79	.61875	3.57145	2.34329	1.52412	.81711
1.30	.78596	1.80500	1.51569	1.19087	.97937	1.80	.61650	3.61333	2.35922	1.53158	.81268
1.31	.78093	1.83545	1.53312	1.19720	.97760	1.81	.61428	3.65545	2.37510	1.53907	.80823
1.32	.77600	1.86613	1.55055	1.20353	.97575	1.82	.61209	3.69780	2.39093	1.54659	.80376
1.33	.77116	1.89705	1.56796	1.20988	.97382	1.83	.60993	3.74038	2.40671	1.55415	.79927
1.34	.76641	1.92820	1.58538	1.21624	.97182	1.84	.60780	3.78320	2.42244	1.56173	.79476
1.35	.76175	1.95958	1.60278	1.22261	.96974	1.85	.60570	3.82625	2.43811	1.56935	.79023
1.36	.75718	1.99120	1.62018	1.22900	.96758	1.86	.60363	3.86953	2.45373	1.57700	.78569
1.37	.75269	2.02305	1.63757	1.23540	.96534	1.87	.60159	3.91305	2.46930	1.58468	.78113
1.38	.74829	2.05513	1.65494	1.24181	.96304	1.88	.59957	3.95680	2.48481	1.59239	.77655
1.39	.74396	2.08745	1.67231	1.24825	.96065	1.89	.59758	4.00078	2.50027	1.60014	.77196
1.40	.73971	2.12000	1.68965	1.25469	.95819	1.90	.59562	4.04500	2.51568	1.60791	.76736
1.41	.73554	2.15278	1.70699	1.26116	.95566	1.91	.59368	4.08945	2.53103	1.61572	.76274
1.42	.73144	2.18580	1.72430	1.26764	.95306	1.92	.59177	4.13413	2.54632	1.62357	.75812
1.43	.72741	2.21905	1.74160	1.27414	.95039	1.93	.58988	4.17905	2.56156	1.63144	.75349
1.44	.72345	2.25253	1.75888	1.28066	.94765	1.94	.58802	4.22420	2.57675	1.63935	.74884
1.45	.71956	2.28625	1.77613	1.28720	.94484	1.95	.58619	4.26958	2.59188	1.64729	.74420
1.46	.71574	2.32020	1.79337	1.29376	.94196	1.96	.58437	4.31520	2.60695	1.65527	.73954
1.47	.71198	2.35438	1.81058	1.30035	.93901	1.97	.58258	4.36105	2.62196	1.66328	.73488
1.48	.70829	2.38880	1.82777	1.30695	.93600	1.98	.58082	4.40713	2.63692	1.67132	.73021
1.49	.70466	2.42345	1.84493	1.31357	.93293	1.99	.57907	4.45345	2.65182	1.67939	.72555

Anhang B.2

Senkrechter Stoß (Ideales Gas; $\kappa = 1,4$)

Ma_1	Ma_2	$\frac{p_2}{p_1}$	$\frac{\rho_2}{\rho_1}$	$\frac{T_2}{T_1}$	$\frac{p_{02}}{p_{01}}$	Ma_1	Ma_2	$\frac{p_2}{p_1}$	$\frac{\rho_2}{\rho_1}$	$\frac{T_2}{T_1}$	$\frac{p_{02}}{p_{01}}$
2.00	.57735	4.50000	2.66667	1.68750	.72087	2.56	.50741	7.47919	3.40341	2.19756	.47540
2.01	.57565	4.54678	2.68145	1.69564	.71620	2.57	.50651	7.53904	3.41488	2.20770	.47155
2.02	.57397	4.59380	2.69618	1.70382	.71153	2.58	.50562	7.59912	3.42631	2.21788	.46772
2.03	.57232	4.64105	2.71085	1.71203	.70685	2.59	.50474	7.65944	3.43767	2.22809	.46391
2.04	.57068	4.68853	2.72546	1.72027	.70218	2.60	.50387	7.71999	3.44898	2.23834	.46012
2.05	.56906	4.73625	2.74001	1.72855	.69751	2.61	.50301	7.78077	3.46023	2.24863	.45636
2.06	.56747	4.78419	2.75451	1.73686	.69284	2.62	.50216	7.84179	3.47143	2.25895	.45263
2.07	.56589	4.83238	2.76895	1.74520	.68817	2.63	.50131	7.90304	3.48257	2.26932	.44891
2.08	.56433	4.88080	2.78332	1.75359	.68351	2.64	.50048	7.96452	3.49365	2.27971	.44522
2.09	.56280	4.92944	2.79764	1.76200	.67886	2.65	.49965	8.02624	3.50468	2.29015	.44156
2.10	.56128	4.97833	2.81190	1.77045	.67420	2.66	.49883	8.08819	3.51565	2.30062	.43792
2.11	.55978	5.02744	2.82610	1.77893	.66956	2.67	.49802	8.15037	3.52657	2.31114	.43430
2.12	.55829	5.07679	2.84024	1.78745	.66492	2.68	.49722	8.21279	3.53743	2.32168	.43071
2.13	.55683	5.12638	2.85432	1.79601	.66029	2.69	.49642	8.27544	3.54824	2.33227	.42714
2.14	.55538	5.17619	2.86834	1.80459	.65567	2.70	.49563	8.33832	3.55899	2.34289	.42359
2.15	.55395	5.22624	2.88231	1.81322	.65105	2.71	.49485	8.40144	3.56969	2.35355	.42007
2.16	.55254	5.27653	2.89621	1.82187	.64645	2.72	.49408	8.46479	3.58033	2.36425	.41657
2.17	.55115	5.32704	2.91005	1.83057	.64185	2.73	.49332	8.52837	3.59092	2.37498	.41310
2.18	.54977	5.37779	2.92383	1.83930	.63727	2.74	.49256	8.59219	3.60146	2.38575	.40965
2.19	.54840	5.42878	2.93756	1.84806	.63270	2.75	.49181	8.65624	3.61194	2.39656	.40623
2.20	.54706	5.47999	2.95122	1.85686	.62814	2.76	.49107	8.72052	3.62237	2.40741	.40283
2.21	.54572	5.53144	2.96482	1.86569	.62359	2.77	.49033	8.78504	3.63274	2.41829	.39945
2.22	.54441	5.58313	2.97836	1.87456	.61905	2.78	.48960	8.84979	3.64306	2.42922	.39610
2.23	.54311	5.63504	2.99185	1.88347	.61453	2.79	.48888	8.91477	3.65333	2.44017	.39277
2.24	.54182	5.68719	3.00527	1.89241	.61002	2.80	.48817	8.97999	3.66355	2.45117	.38946
2.25	.54055	5.73958	3.01863	1.90138	.60553	2.81	.48746	9.04544	3.67371	2.46221	.38618
2.26	.53930	5.79219	3.03193	1.91040	.60105	2.82	.48676	9.11112	3.68383	2.47328	.38293
2.27	.53805	5.84504	3.04518	1.91944	.59659	2.83	.48606	9.17704	3.69388	2.48439	.37970
2.28	.53683	5.89813	3.05836	1.92853	.59214	2.84	.48538	9.24319	3.70389	2.49553	.37649
2.29	.53561	5.95144	3.07148	1.93764	.58771	2.85	.48469	9.30957	3.71385	2.50672	.37330
2.30	.53441	6.00499	3.08455	1.94680	.58330	2.86	.48402	9.37619	3.72375	2.51794	.37014
2.31	.53322	6.05878	3.09755	1.95599	.57890	2.87	.48335	9.44304	3.73361	2.52920	.36700
2.32	.53205	6.11279	3.11049	1.96522	.57452	2.88	.48269	9.51012	3.74341	2.54050	.36389
2.33	.53089	6.16704	3.12338	1.97448	.57015	2.89	.48203	9.57744	3.75316	2.55183	.36080
2.34	.52974	6.22153	3.13620	1.98378	.56581	2.90	.48138	9.64499	3.76286	2.56321	.35773
2.35	.52861	6.27624	3.14896	1.99311	.56148	2.91	.48074	9.71277	3.77251	2.57462	.35469
2.36	.52749	6.33119	3.16167	2.00248	.55718	2.92	.48010	9.78079	3.78211	2.58606	.35167
2.37	.52638	6.38638	3.17431	2.01189	.55289	2.93	.47946	9.84904	3.79166	2.59755	.34867
2.38	.52528	6.44179	3.18690	2.02133	.54862	2.94	.47884	9.91752	3.80117	2.60907	.34570
2.39	.52419	6.49744	3.19943	2.03081	.54437	2.95	.47821	9.98624	3.81062	2.62064	.34275
2.40	.52312	6.55333	3.21189	2.04033	.54014	2.96	.47760	10.05519	3.82002	2.63223	.33982
2.41	.52206	6.60944	3.22430	2.04988	.53594	2.97	.47699	10.12437	3.82937	2.64387	.33692
2.42	.52100	6.66579	3.23665	2.05947	.53175	2.98	.47638	10.19379	3.83868	2.65555	.33404
2.43	.51996	6.72238	3.24894	2.06910	.52758	2.99	.47578	10.26344	3.84793	2.66726	.33118
2.44	.51894	6.77919	3.26117	2.07876	.52344	3.00	.47519	10.33333	3.85714	2.67901	.32834
2.45	.51792	6.83624	3.27335	2.08846	.51931	3.50	.45115	14.12500	4.26087	3.31505	.21295
2.46	.51691	6.89353	3.28546	2.09819	.51521	4.00	.43496	18.50000	4.57143	4.04688	.13876
2.47	.51592	6.95104	3.29751	2.10796	.51113	4.50	.42355	23.45833	4.81188	4.87509	.09170
2.48	.51493	7.00879	3.30951	2.11777	.50707	5.00	.41523	29.00000	5.00000	5.80000	.06172
2.49	.51395	7.06677	3.32145	2.12762	.50303	6.00	.40416	41.83333	5.26829	7.94059	.02965
2.50	.51299	7.12499	3.33333	2.13750	.49902	7.00	.39736	57.00000	5.44444	10.46939	.01535
2.51	.51203	7.18344	3.34515	2.14742	.49502	8.00	.39289	74.50000	5.56522	13.38672	.00849
2.52	.51109	7.24212	3.35692	2.15737	.49105	9.00	.38980	94.33334	5.65116	16.69273	.00496
2.53	.51015	7.30104	3.36863	2.16736	.48711	10.00	.38758	116.50000	5.71429	20.38750	.00304
2.54	.50923	7.36019	3.38028	2.17739	.48318	∞	.37796	∞	6.00000	∞	0
2.55	.50831	7.41957	3.39187	2.18746	.47928						

Anhang

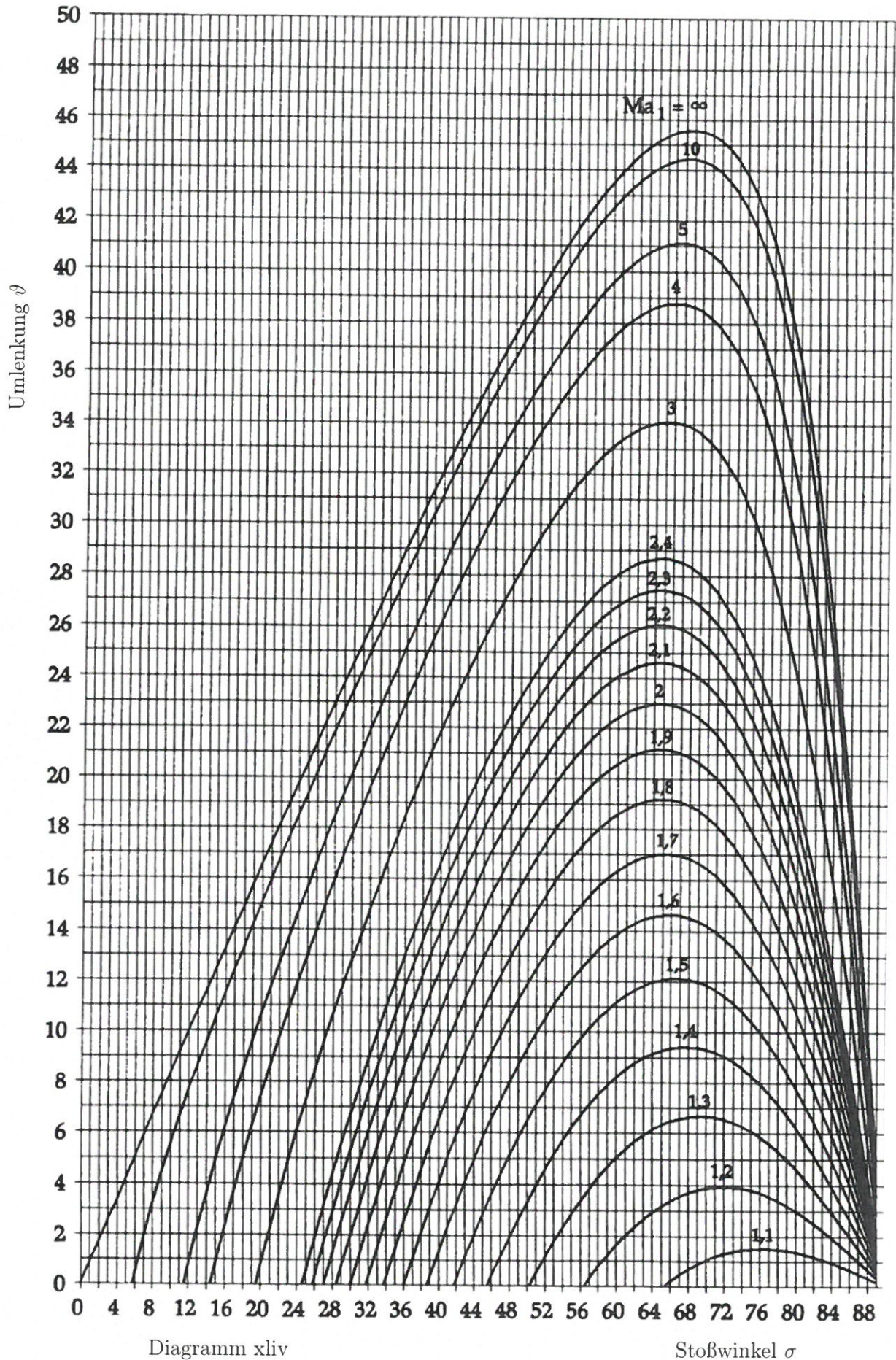


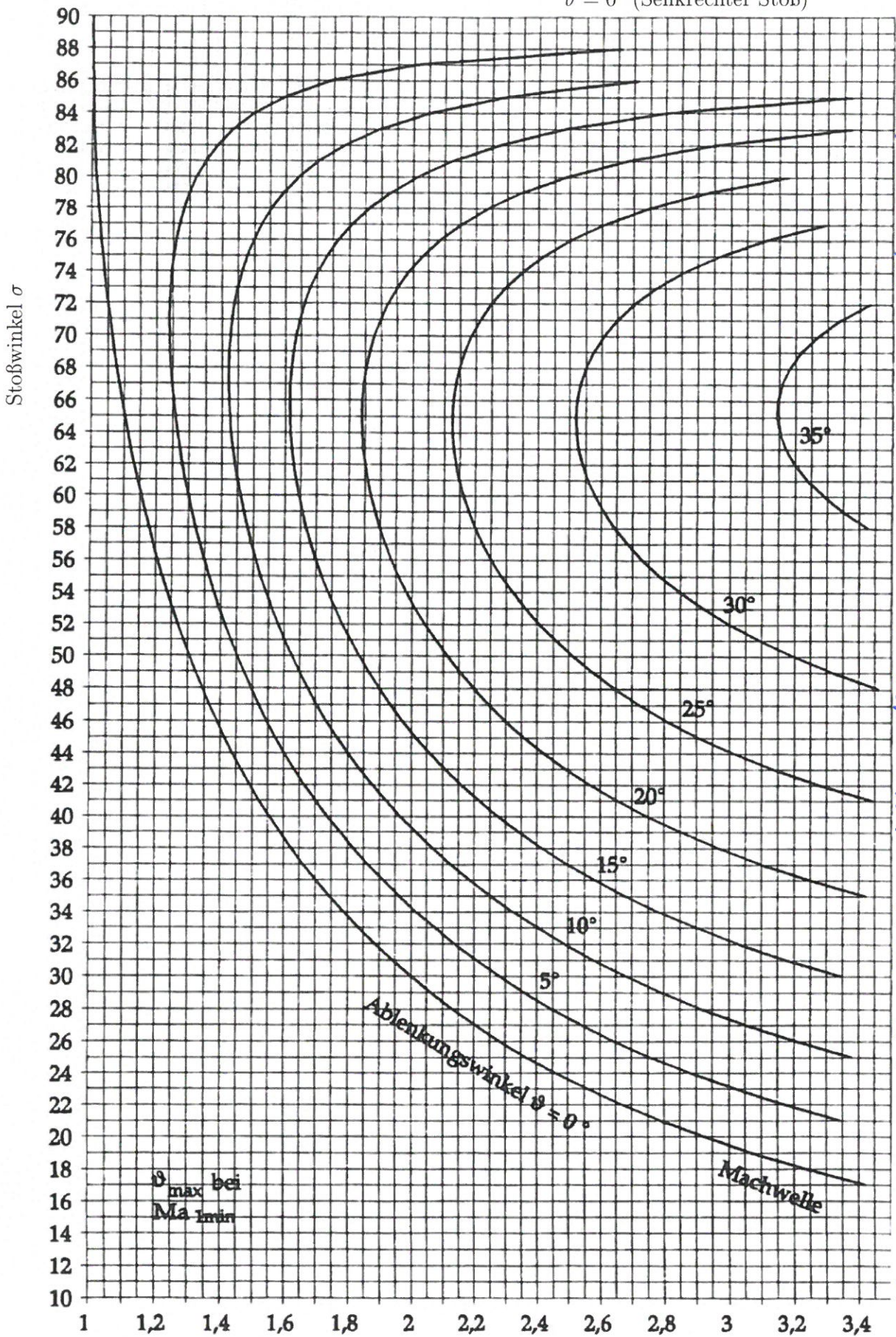
Diagramm xlv

Stoßwinkel σ

Abgelöster Verdichtungsstoß
Abgelöste Kapfwelle

Anhang

$\vartheta = 0^\circ$ (Senkrechter Stoß)



Wenn maximaler Ablenkwinkel ϑ bei Machzahl kleiner als gesamte Ablenkung des Profils \rightarrow abgelöste Koppelle
 Maximaler Ablenkwinkel bei bestimmter Machzahl mit Diagramm xlv finden

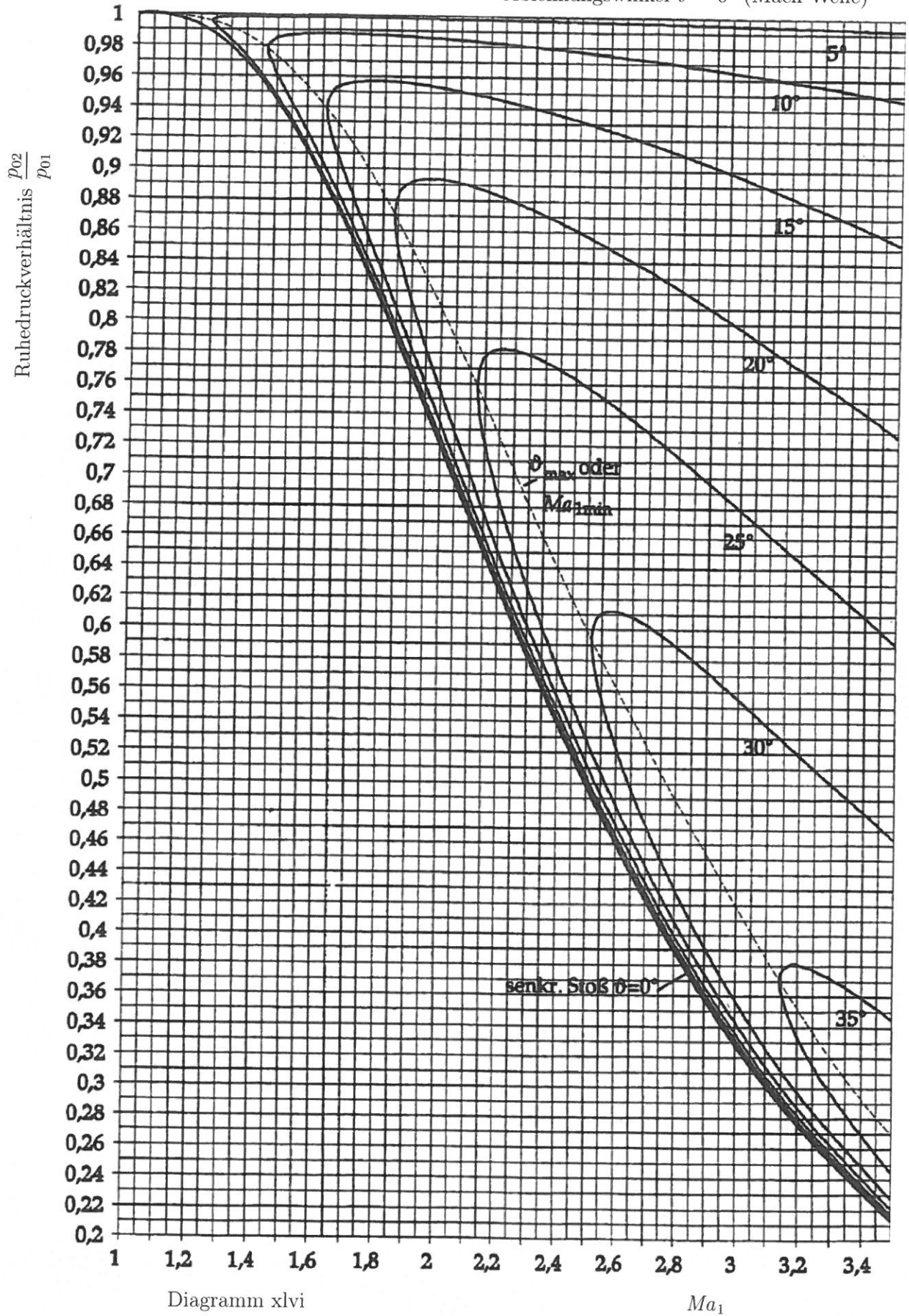
ϑ_{max} bei
 Ma_{min}

Diagramm xlv

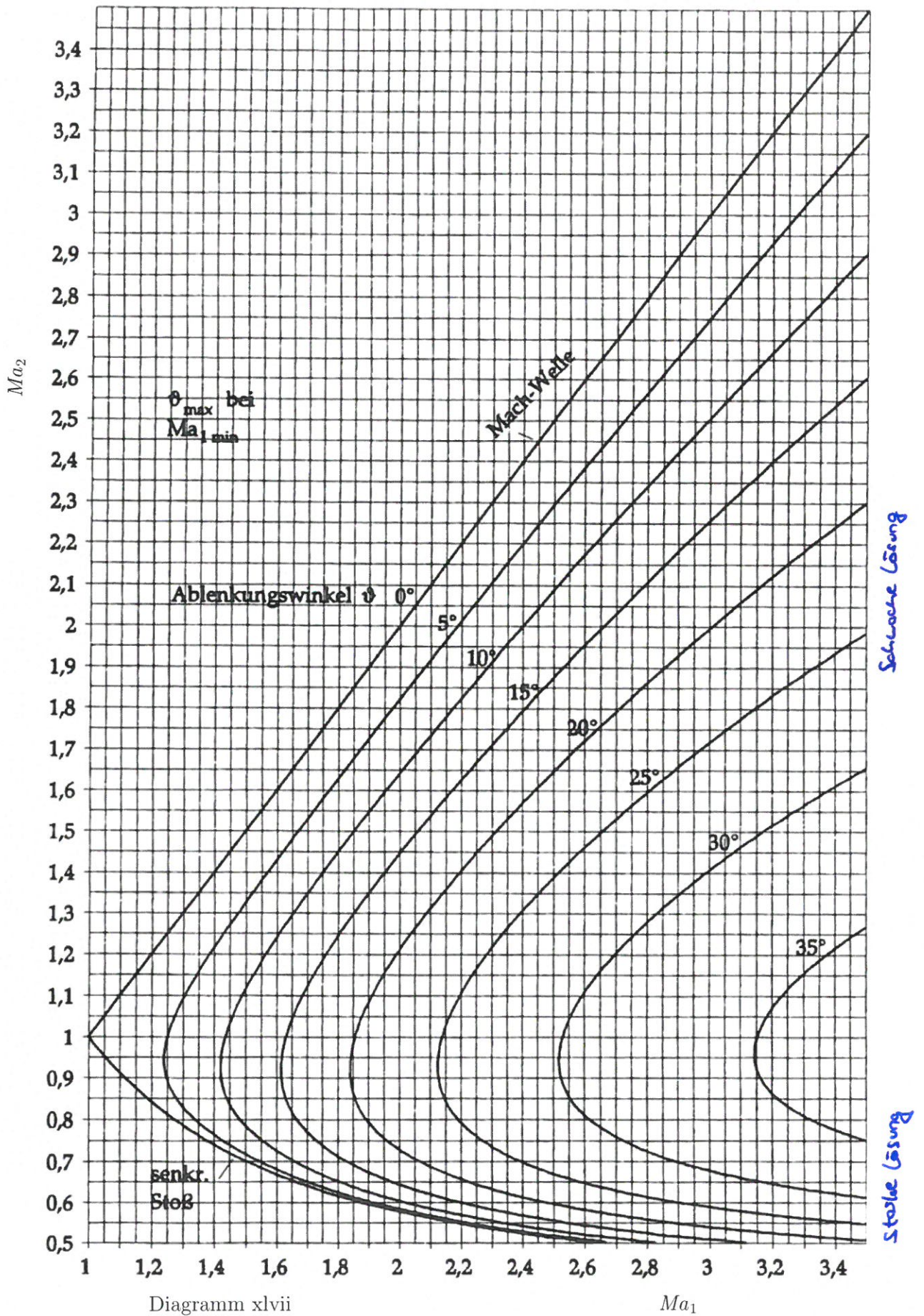
Ma_1

Anhang

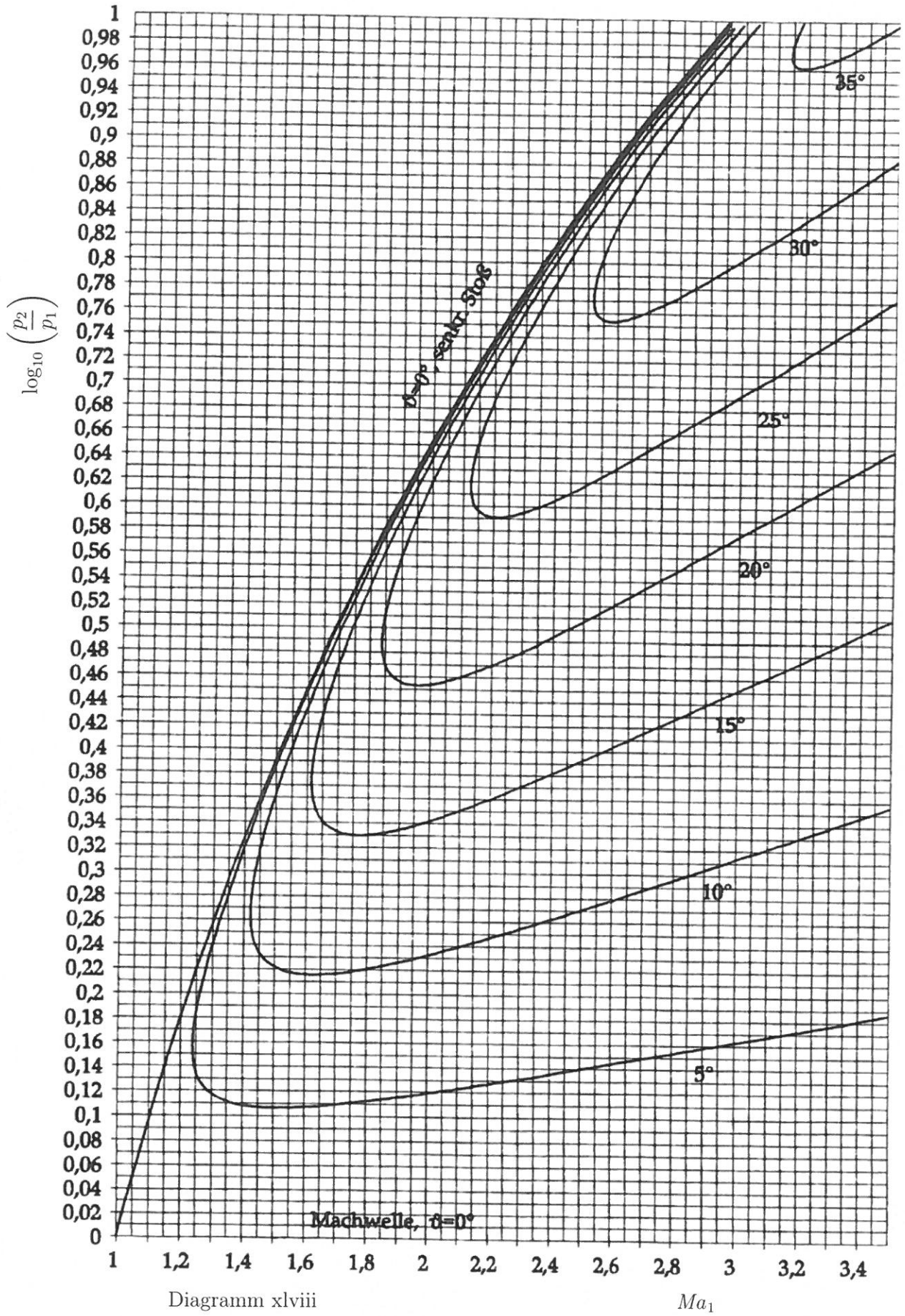
Ablenkungswinkel $\vartheta = 0^\circ$ (Mach-Welle)



Anhang



Anhang



7

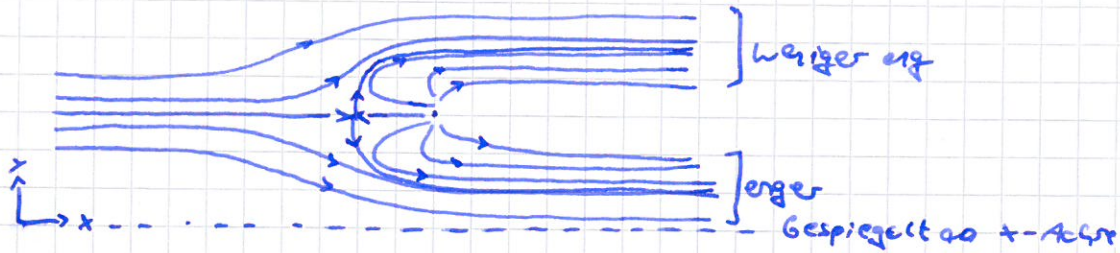
a) $\psi(x, y) = U_0 y + \frac{E}{2\pi} \arctan\left(\frac{y-a}{x-d}\right) + \frac{E}{2\pi} \arctan\left(\frac{y+b}{x-d}\right)$

Translationsströmung in x Richtung mit Stärke U_0

Quelle bei (d, a) mit Stärke E

Quelle bei $(d, -b)$ mit Stärke E

b)



c) Stagnation: $u, v = 0$

$$v_x = 0 = U_0 + \frac{E}{2\pi} \frac{x-d}{(x-d)^2 + (y-a)^2} + \frac{E}{2\pi} \frac{x-d}{(x-d)^2 + (y+b)^2}$$

$$v_y = 0 = 0 + \frac{E}{2\pi} \frac{y-a}{(x-d)^2 + (y-a)^2} + \frac{E}{2\pi} \frac{y+b}{(x-d)^2 + (y+b)^2}$$

~~Stagnation~~ $x_1 = 97,5 \text{ m}$ $x_1 = -79,87 \text{ m}$

$x_2 = 97,5 \text{ m}$ $x_2 = 29,88 \text{ m}$

d) Volumenstrom $\frac{d\psi}{dt} = |\psi_2 - \psi_1|$

$\psi_1 = \psi(97,5, -79,87) = \dots -32,4 \frac{\text{m}^2}{\text{s}}$

$\psi_2 = \psi(97,5, 29,88) = \dots 32,4 \frac{\text{m}^2}{\text{s}}$

$\frac{d\psi}{dt} = 64,8 \frac{\text{m}^2}{\text{s}}$

e) $V_{\text{Hir}} = (U, 0)$

$$\psi(x, y) = U_0 y + \frac{E_1}{2\pi} \arctan\left(\frac{y-d}{x-b}\right) - \frac{E_2}{2\pi} \arctan\left(\frac{y-d}{x-a}\right) + \frac{\mu}{2\pi} \frac{y-d}{(x-c)^2 + (y-d)^2}$$

$U_0 < 0$ $E_1 > 0$ $E_2 > 0$ $\mu > 0$

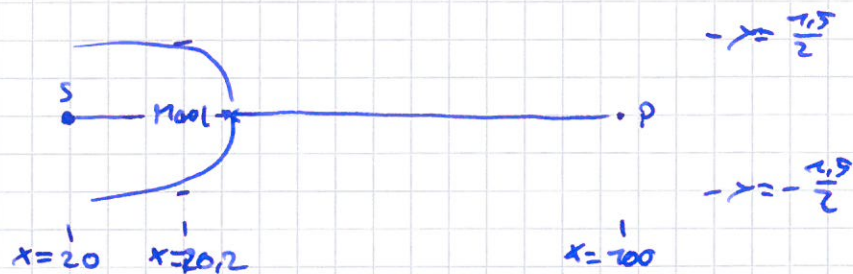
f) (1) : Strömung wird eingesogen und wieder ausgesogen \rightarrow keine Verdünnung

(2) : Richtig, Kreisstromumströmung wird durch Dipol (der Strömung entgegengesetzt) erzeugt.

(3) : Wird nicht durch Dipol dargestellt \rightarrow Stromlinien laufen auseinander, keine Kreise um Singularität \rightarrow Hier: Quelle.

g) $\psi(x, y) = U_0 x + \frac{c}{2\pi} \arctan\left(\frac{y}{x-b}\right)$ $U_0 = -2 \frac{m}{s}$

(21)



Damit Potential des Maul trifft nur gelten: $\psi(20,2, \frac{1,5}{2}) \stackrel{!}{=} \psi(100, y_1)$
 $\psi(20,2, -\frac{1,5}{2}) = \psi(100, y_2)$

$y_1 = 0,6464 \text{ m}$ $y_2 = -0,6464 \text{ m}$

max. Breite des Planktons: 7,293 m

② $h = 7,4$ $R = 287,7 \frac{J}{kgK}$

a) $P_0 = 9 \text{ bar}$ $\rho_0 = 1,1467 \frac{kg}{m^3}$

$Ma_1 = 2,65$ $A_{e1} = 0,7257 \text{ m}^2$

Aus Tabelle: $\frac{A_e}{A^*} = 3,03588 \rightarrow A_e^* = 0,04739 \text{ m}^2$

$\frac{P_1}{P_0} = 0,47470 \cdot 10^{-7} \rightarrow P_1 = 0,42465$

Rayleigh-Pitot-Formel: $\frac{P_{Pitot}}{P_1} = 9,579$

$P_{Pitot} = 4,036 \text{ bar}$ Abgelöste Kapfelle vor Pitotsonde führt

zu Totaldruckverlust.

$C_{T1} = \sqrt{\gamma R T_1}$
 $= \sqrt{\gamma \frac{P_1}{\rho_1}}$
 $= 345,2 \frac{m}{s} \rightarrow T_1 = 296,4 \text{ K}$

~~$\frac{P_1}{P_0} = 0,47470 \cdot 10^{-7} \rightarrow P_1 = 0,42465$~~

b) Formel 9.49: $M_2 = 9,898^\circ$ $7 \rightarrow 2$

9,59: $Ma_2 = 2,225$ (mit Diagramm)

2 \rightarrow 3: 9.49: $M_3 = 20^\circ \rightarrow \sigma_{23} = 47,5^\circ$

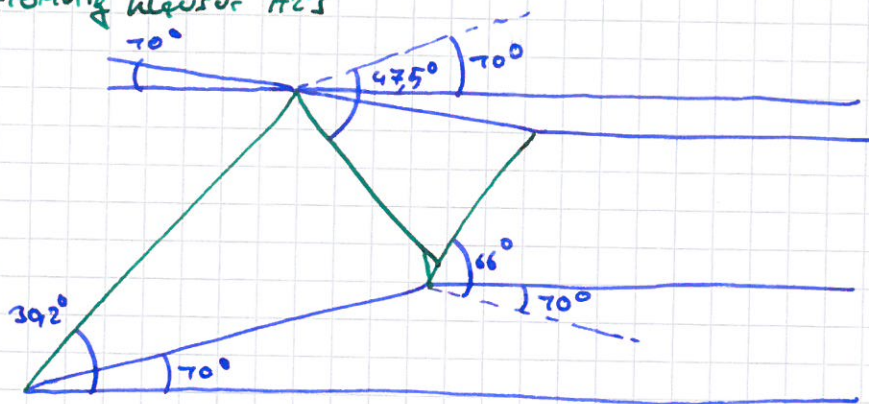
$Ma_3 = 7,42$

3 \rightarrow 4: $M_4 = 70^\circ$ $\sigma_{34} = 66^\circ$

$Ma_4 = 0,925$

(Alles aus Diagramm $x(Ma)$ und $x(\sigma)$)

c)

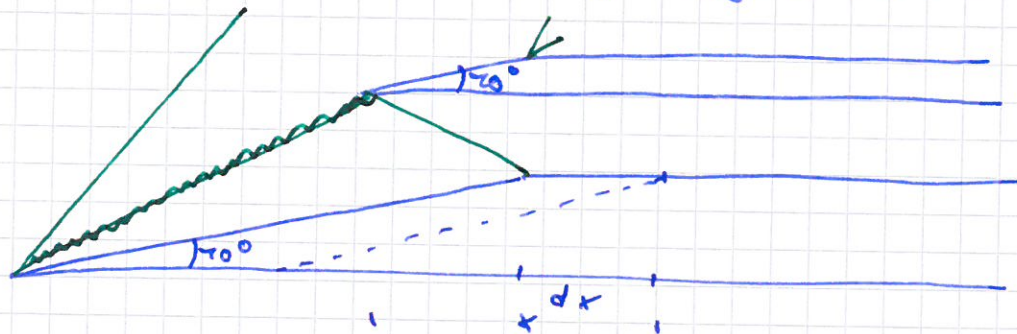


d) $M_{a1} = 2.8$ $M_{a2} = 2.0$ $M_{a3} = 7.5$
 $\frac{P_{02}}{P_{01}} = 0.97$ $\frac{P_{03}}{P_{02}} = 0.89$ $\frac{P_{04}}{P_{03}} = 0.98$ Diagram + Lvi
 $\frac{P_{04}}{P_{01}} = 0.846$

e) Anhang B2 $\rightarrow \frac{P_{02}}{P_{01}} = 0.44756$

f) Verhältnis $\frac{A_e}{A^*}$ müsste ~~vergrößert~~ werden, verkleinert werden
 Nur A_e verkleinern oder A^* vergrößern geht auch.

g)



h) $T_0 = 477.2 \text{ K}$ $\frac{P_2}{P_1} = 84720 \frac{\text{N}}{\text{m}^2}$ $d = 50 \text{ mm}$ $x = 720 \text{ mm}$



$\tan(\alpha) = \frac{x-dx}{d}$

$\frac{P_1}{P_2} = RT_2 \rightarrow T_2 = 293 \text{ K} \rightarrow \frac{T_2}{T_0} = 0.7725$

Tabelle Anhang B1: $M_{a2} = 7.42$

$\sigma_{n2} = 70^\circ$ $\sigma_{n3} =$

~~$V_{a6} = 29.585 + 0.27 + 0.27$~~

~~$V(M_{a6}) = V(M_{a2}) + \sigma_{n3} \rightarrow 70^\circ$~~

$= 79.565 \rightarrow M_{a6} = 7.76$

~~Wahl~~

$\alpha = \sigma_2 : \text{Anhang 9.49, Tabelle XLV}$

$\sigma_2 = 70^\circ$ $M_{a2} = 7.42$

$= 66^\circ$

$\rightarrow dx = 86.27 \text{ mm}$

①

a) Parallelströmung in +x-Richtung ; Quelle mit Stärke 2ϵ bei $(-1, 1)$

Zwei Senken mit Stärke ϵ bei $(1, 1)$ und $(2, 1)$

$$b) \psi(x, y) = U_0 y + \frac{2\epsilon}{2\pi} \arctan\left(\frac{y-1}{x+1}\right) - \frac{\epsilon}{2\pi} \left(\arctan\left(\frac{y-1}{x-1}\right) + \arctan\left(\frac{y-1}{x-2}\right) \right)$$

$$v(x, y) = U_0 + \frac{2\epsilon}{2\pi} \frac{y-1}{(x+1)^2 + (y-1)^2} - \frac{\epsilon}{2\pi} \left(\frac{y-1}{(x-1)^2 + (y-1)^2} + \frac{y-1}{(x-2)^2 + (y-1)^2} \right)$$

$$v(x, 1) = 0 + \frac{2\epsilon}{2\pi} \frac{1-1}{(x+1)^2 + (1-1)^2} - \frac{\epsilon}{2\pi} \left(\frac{1-1}{(x-1)^2 + (1-1)^2} + \frac{1-1}{(x-2)^2 + (1-1)^2} \right)$$

c) Aufgrund der Symmetrie sind alle Staupunkte bei $y_{sp} = 1$

x koordinaten über ~~$v(x, 1) = 0$~~

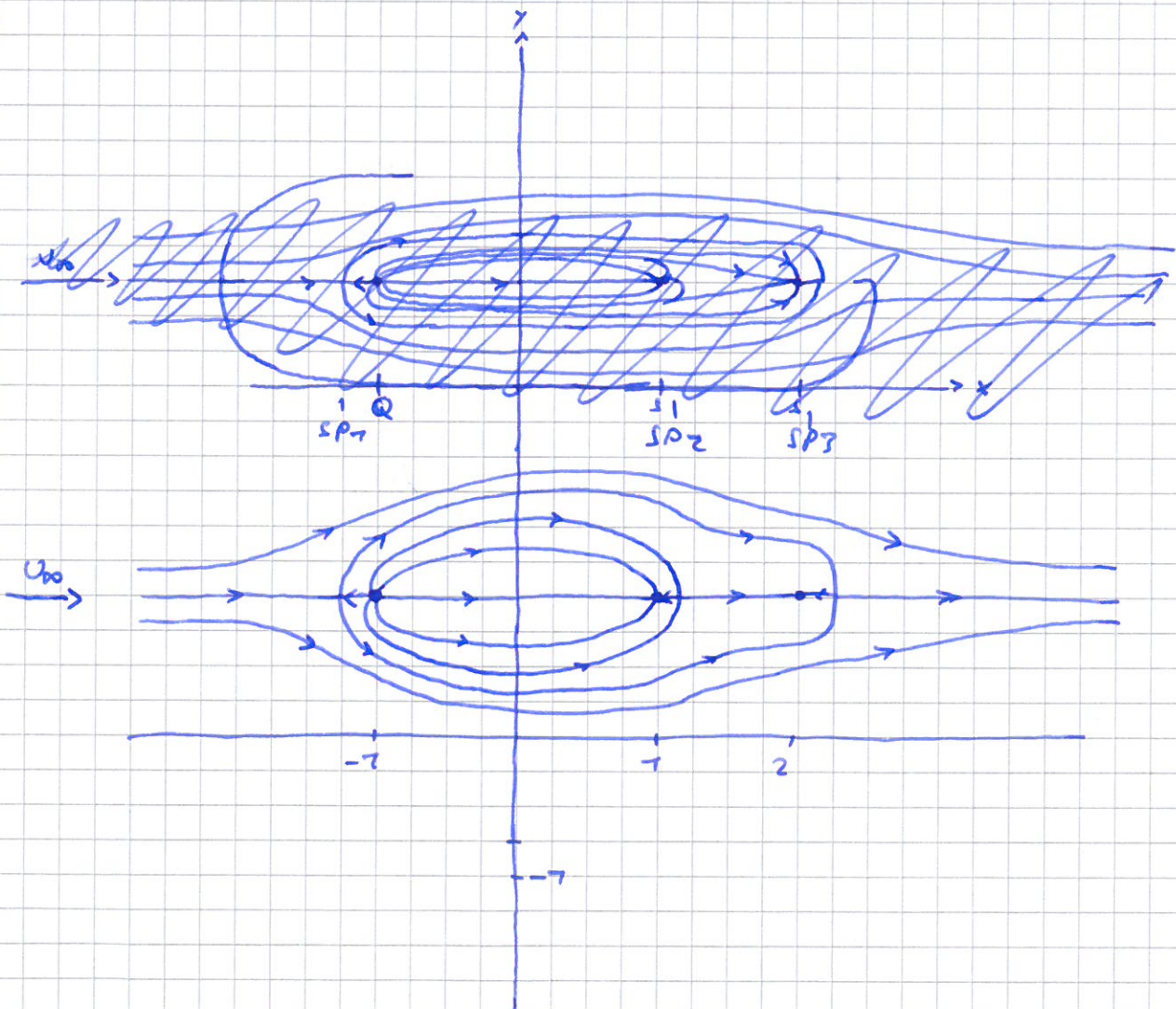
~~$v(x, 1) = 0$~~

Drei Staupunkte: für $U_0 = \epsilon$ gilt:

$$x_{sp1} = -1,285 \quad x_{sp2} = 1,72 \quad x_{sp3} = 2,765$$

$$\text{Länge } L = x_{sp1} + |x_{sp3}| = 3,42$$

d)



e) Wirbel ^{Im} ~~gegen~~ dem Uhrzeigersinn

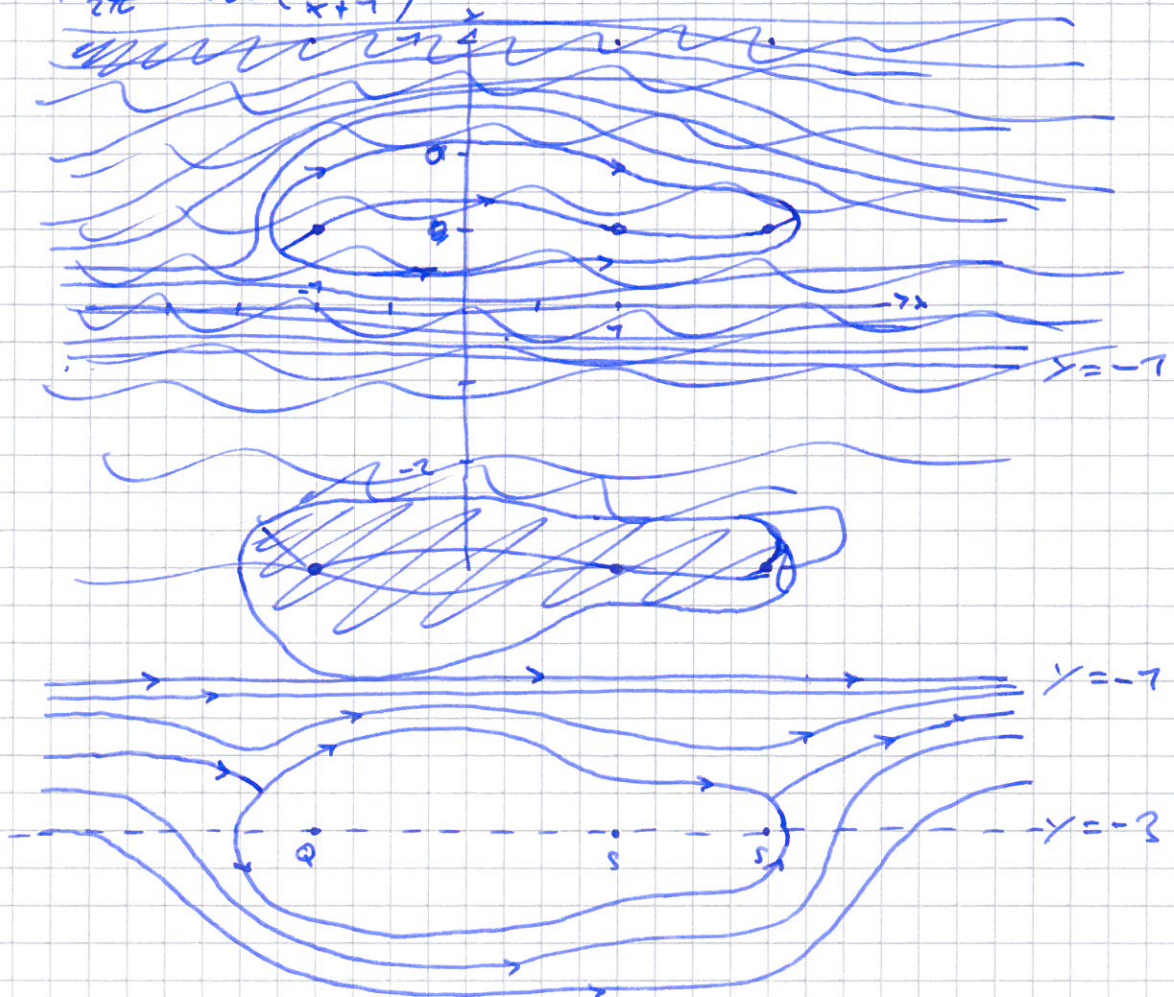
$$\Psi(x, y) = U_0 y + \frac{2E}{2\pi} \operatorname{arctan}\left(\frac{y-1}{x+1}\right) - \frac{E}{2\pi} \left(\operatorname{arctan}\left(\frac{y-1}{x-1}\right) + \operatorname{arctan}\left(\frac{y-1}{x-2}\right) \right) + \frac{\Gamma}{2\pi} \ln\left(\sqrt{(x+1)^2 + (y-1)^2}\right)$$

f) Bodenfläche bei $y = -1$

Spiegelung der Singularitäten + Umkehrung des Wirbels:

$$\Psi(x, y) = U_0 y + \frac{2E}{2\pi} \operatorname{arctan}\left(\frac{y-1}{x+1}\right) - \frac{E}{2\pi} \left(\operatorname{arctan}\left(\frac{y-1}{x-1}\right) + \operatorname{arctan}\left(\frac{y-1}{x-2}\right) \right) + \frac{\Gamma}{2\pi} \ln\left(\sqrt{(x+1)^2 + (y-1)^2}\right) + \frac{2E}{2\pi} \operatorname{arctan}\left(\frac{y+3}{x+1}\right) - \frac{E}{2\pi} \left(\operatorname{arctan}\left(\frac{y+3}{x-1}\right) + \operatorname{arctan}\left(\frac{y+3}{x-2}\right) \right) - \frac{\Gamma}{2\pi} \ln\left(\sqrt{(x+1)^2 + (y+3)^2}\right)$$

$$\phi(x, y) = U_0 x + \frac{2E}{2\pi} \ln\left(\sqrt{(x+1)^2 + (y-1)^2}\right) - \frac{E}{2\pi} \left(\ln\left(\sqrt{(x-1)^2 + (y-1)^2}\right) + \ln\left(\sqrt{(x-2)^2 + (y-1)^2}\right) \right) + \frac{\Gamma}{2\pi} \operatorname{arctan}\left(\frac{y-1}{x+1}\right) + \frac{2E}{2\pi} \ln\left(\sqrt{(x+1)^2 + (y+3)^2}\right) - \frac{E}{2\pi} \left(\ln\left(\sqrt{(x-1)^2 + (y+3)^2}\right) + \ln\left(\sqrt{(x-2)^2 + (y+3)^2}\right) \right) + \frac{\Gamma}{2\pi} \operatorname{arctan}\left(\frac{y+3}{x+1}\right)$$



und an der Wand

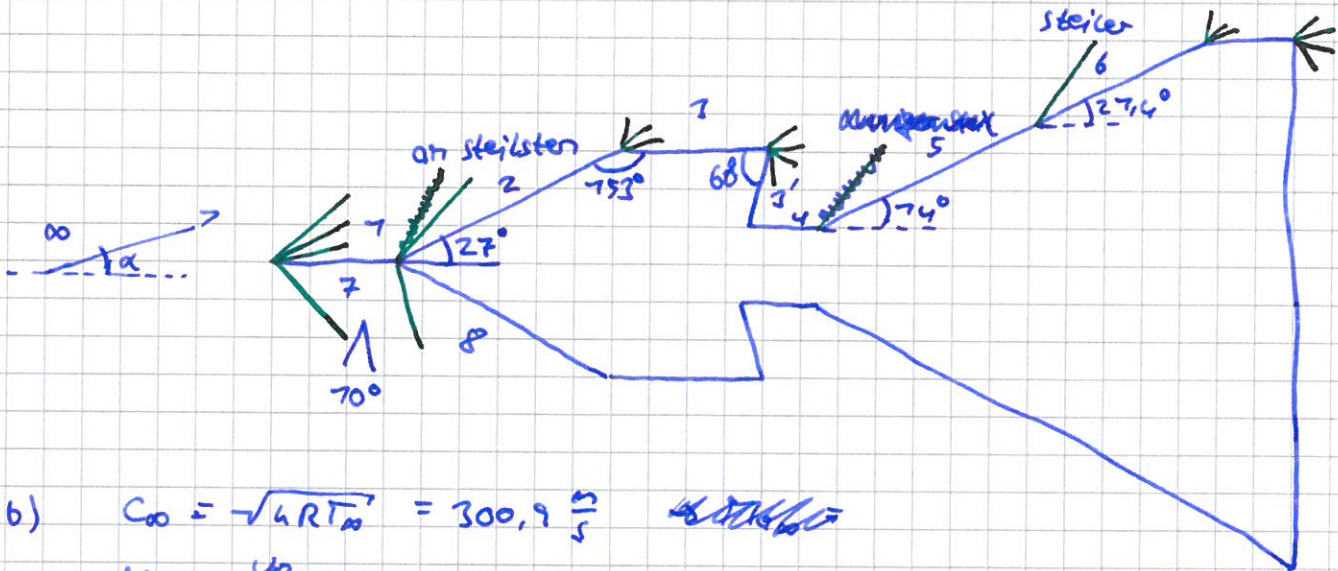
- g) In Reibungsbehafteten Fall würde sich an der Profilloberfläche eine Grenzschicht ausbilden die den Widerstand erhöht und die Geschwindigkeiten in Profilmitteln verringert.

$v(z, -r) = 0$, weil Wand nur Geschw. in x-Richtung

$v(z, -r) = \frac{7z}{65\pi} E - \frac{z}{73\pi} T + U_{\infty}$ \hookrightarrow leicht anders wie Lösung

② $U_{\infty} = 436,0 \frac{m}{s}$ $T_{\infty} = -48^{\circ}C = 225,2 K$ $P_{\infty} = 25 \frac{kN}{m^2} = 0,25625$ $\alpha = 70^{\circ}$

a)



b) $C_{\infty} = \sqrt{4RT_{\infty}} = 300,9 \frac{m}{s}$ ~~436,0~~

$M_{\infty} = \frac{U_{\infty}}{C_{\infty}} = 1,449$

$\sigma_{02} = 67,76^{\circ}$ (9.49)

$M_{02} = 1,03$ (9.59)

$P_{0,2} = 0,852862$ (9.209)

c) $M_{\infty} = 1,5$ $P_{\infty} = 0,25625$

9.79: $\nu(M_{\infty}) = 39,72^{\circ}$

$\nu(M_{01}) = 49,72^{\circ}$ (9.75)

$M_{01} = 2,967$ (9.76)

$\sigma_{12} = 47,35^{\circ}$ (9.49)

$M_{02} = 1,58$ (9.59)

Öffnungswinkel des Fächers: $\delta = \mu_2 - \mu_1 + \Delta \nu_{0,1}$

$\mu = \arcsin\left(\frac{1}{M_0}\right) \rightarrow \mu_1 = 23,58$; $\mu_2 = 19,7$

$\delta = 6,88 + 13,88^{\circ}$

d) $M_7 = 2,7$

σ_{max} bei $M_7: \approx 25^\circ < 27^\circ$

-> Es bildet sich ein abgelöster Verdichtungsstoß aus

e) $M_3 = 2,7$

Expansionsfächer von 3 zu 2'

9.74: $\nu(M_{01}) = 29,7^\circ$

9.75: $\nu(M_{02}') = ~~29,7^\circ~~ 749,7^\circ$ Unmöglich weil $> 730,454$

9.74: $M_{02}' = ~~2,7~~ \infty$

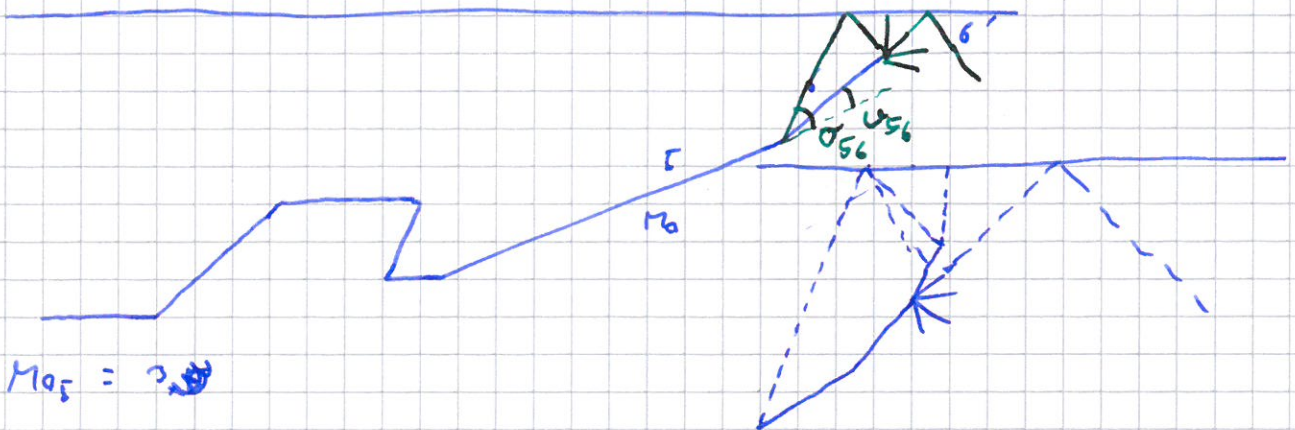
$\mu_{2}' = 0^\circ$

$\Delta \nu_{2,2}' = \nu_2 - \nu_{2}' = 707,4^\circ$ $\mu_2 = \arcsin\left(\frac{1}{M_{02}'}\right) = 28,44^\circ$

$\delta = \mu_{2}' - \mu_2 + \Delta \nu_{2,2}' = 729,2^\circ$

Nah der Wand entsteht ~~eben~~ "vor" dem Expansionsfächer ein Vakuum. In Wirklichkeit würde durch Reibungseffekte ein wesentlich geringerer Öffnungskegel entstehen.

f)



$M_{05} = 3,0$

$\sigma_{56} = 7,4^\circ$

9.44: $M_{05} \sigma_{56} = 25,7^\circ \rightarrow$ 9.59: $M_{06} = 2,632$

9.74: $\nu(M_{06}) = 42,73^\circ \rightarrow$ 9.75: $\nu(M_{06}') = 3,834$

$\delta = \mu_{61} - \mu_6 + \Delta \nu_{06}'$
 $\hookrightarrow = 27,4^\circ?$

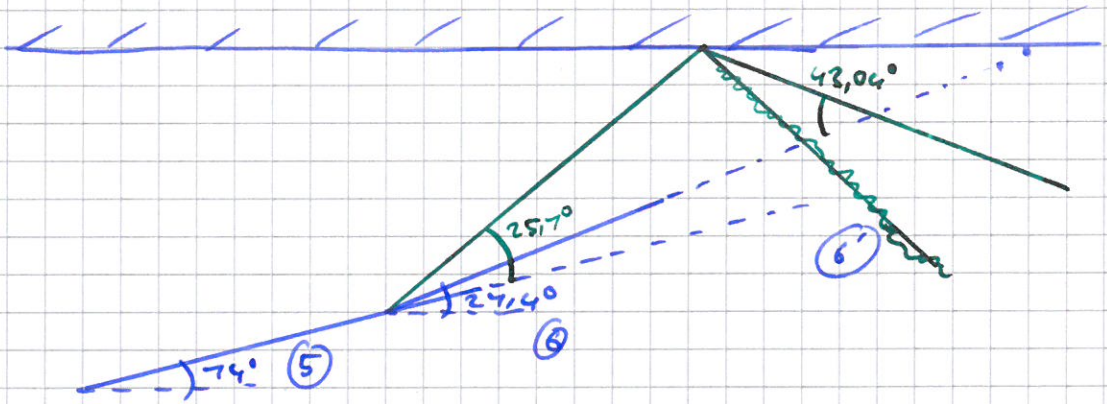
$\mu_6 = 20,8^\circ$ $\mu_{61} = 74,6^\circ$

$\delta = 75,27$



Nachmal neuer Versuch auf nächster Seite!

1)



$$M_{05} = 3$$

$$\sigma_{56} = 7,4^\circ$$

$$9.49 : \sigma_{56} = 25,7^\circ$$

$$9.59 : M_{06} = 2,632$$

$$\sigma_{66'} = 27,4^\circ$$

$$9.49 : \sigma_{66'} = 43,04^\circ$$

$$9.59 : M_{06'} = 2,634$$

7)

a) $-U_{\infty} x + \frac{M}{2\pi} \frac{x-a}{(x-a)^2 + y^2} = \psi(x, y)$

Stützpunkt soll bei $(a, -\frac{d}{2})$ liegen

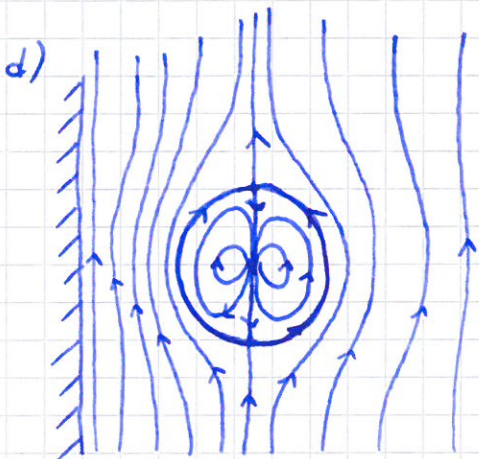
$$v_y(x, y) = U_{\infty} + \frac{M}{2\pi} \frac{2xy(x-a)}{((x-a)^2 + y^2)^2}$$

$$M = \frac{d^2 \pi U_{\infty}}{2}$$

b) Spiegelungsprinzip: Gleicher Dipol auch bei $(-a, 0)$

$$F(z) = -i U_{\infty} z - i \frac{M}{2\pi} \cdot \frac{1}{z-a} - i \frac{M}{2\pi} \cdot \frac{1}{z+a}$$

c) $\omega'(z) = \frac{dF(z)}{dz} = \frac{iM}{2\pi} \left(-\frac{1}{(z-a)^2} - \frac{1}{(z+a)^2} \right) = 0$



Gespiegelt auf anderer Seite des Ufers

e) $y=0 \quad \psi(x, y) = -U_{\infty} x + \frac{M}{2\pi} \frac{x-a}{(x-a)^2 + y^2} + \frac{M}{2\pi} \frac{x+a}{(x+a)^2 + y^2}$

$$\frac{\dot{v}}{l} = |\psi_2(0,0) - \psi_1(0-\frac{d}{2}, 0)|$$

~~Wird hier nicht benötigt~~

$$\psi_2(0,0) = 0 \quad \psi_1(a-\frac{d}{2}, 0) = -7.933$$

$$\dot{v} = t \cdot |\psi_2 - \psi_1| = 6 \cdot t \cdot 7.933 \langle U \rangle$$

$$\langle U \rangle = \frac{|\psi_2 - \psi_1|}{6} = 7.733 \frac{m}{s}$$

f) $\psi(x, y) = U_{\infty} y + \frac{E_1}{2\pi} \arctan\left(\frac{y}{x+b/2}\right) + \frac{E_2}{2\pi} \arctan\left(\frac{y}{x-b/2}\right)$

$U_{\infty} y$: Translationsströmung in x -Richtung mit Geschw. $U_{\infty} > 0$

Quelle bei $(-\frac{b}{2}, 0)$ mit Stärke $E_1 > 0$

Quelle bei $(\frac{b}{2}, 0)$ mit Stärke $E_2 < 0$ (Senke)

g) $E_1 = -E_2$ (Damit sich eine geschlossene Körperkontur bildet.)

5)

$$\psi(x', y') = \psi_h(x, y) \quad x' \rightarrow \infty$$

$$U_{\infty} y' + \frac{E}{2\pi} \sigma \tan^{-1}(0) + \frac{E}{2\pi} \sigma \tan^{-1}(0) = \psi_h(x, y)$$

$$y' = \frac{\psi_h}{U_{\infty}}$$

i) $\text{rot}(u) = 0 \rightarrow$ Winkel ändert sich nicht $\rightarrow \alpha_h = \alpha_w$

② $A_2 = 400 \text{ cm}^2$ $A_{\text{min}} = 227 \text{ cm}^2$ $h = 7,4$ $R = 287,7 \frac{\text{J}}{\text{kgK}}$
 $T_1 = 0^\circ \text{C}$ $p_1 = 7 \text{ bar}$ $M_1 = 0,5$

a) Lavaldüse ; Lavalzahl, Strömungsgeschwindigkeit bezogen auf Lavalgeschwindigkeit, identisch zu M_0 bei $M_0 = 0, M_0 = 1$

b) ~~9.26~~ $9.26 \rightarrow M_{02} = 2$

~~9.20a~~ $9.20a \rightarrow p_0 = 7,786 \text{ bar}$

$\rightarrow T_0 = 280,8 \text{ K}$

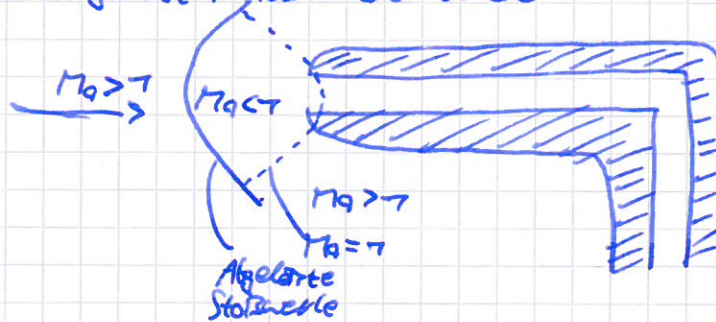
$9.24 \rightarrow h = 6,707 \frac{\text{kg}}{\text{s}} \rightarrow 7,77 \frac{\text{kg}}{\text{s}}$ in Lösung trotz gleicher Zwischenergebnisse

c) $p_{\text{rit},2} = 7,06 \text{ bar}$

$9.47 \rightarrow p_2 = 7,773 \text{ bar}$

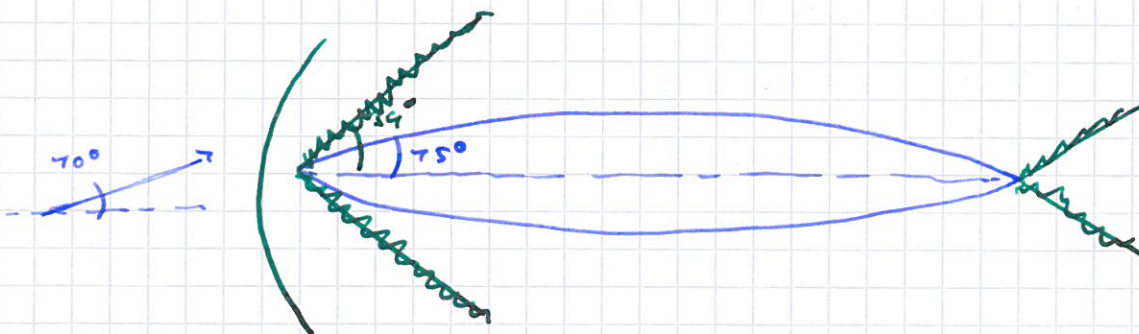
$9.20a \rightarrow p_{02} = 73,87 \text{ bar}$

Totaldruckverlust durch abgelösten Stoß vor der Sonde



d) $\vartheta = 75^\circ$ $\alpha = 70^\circ$

x/y



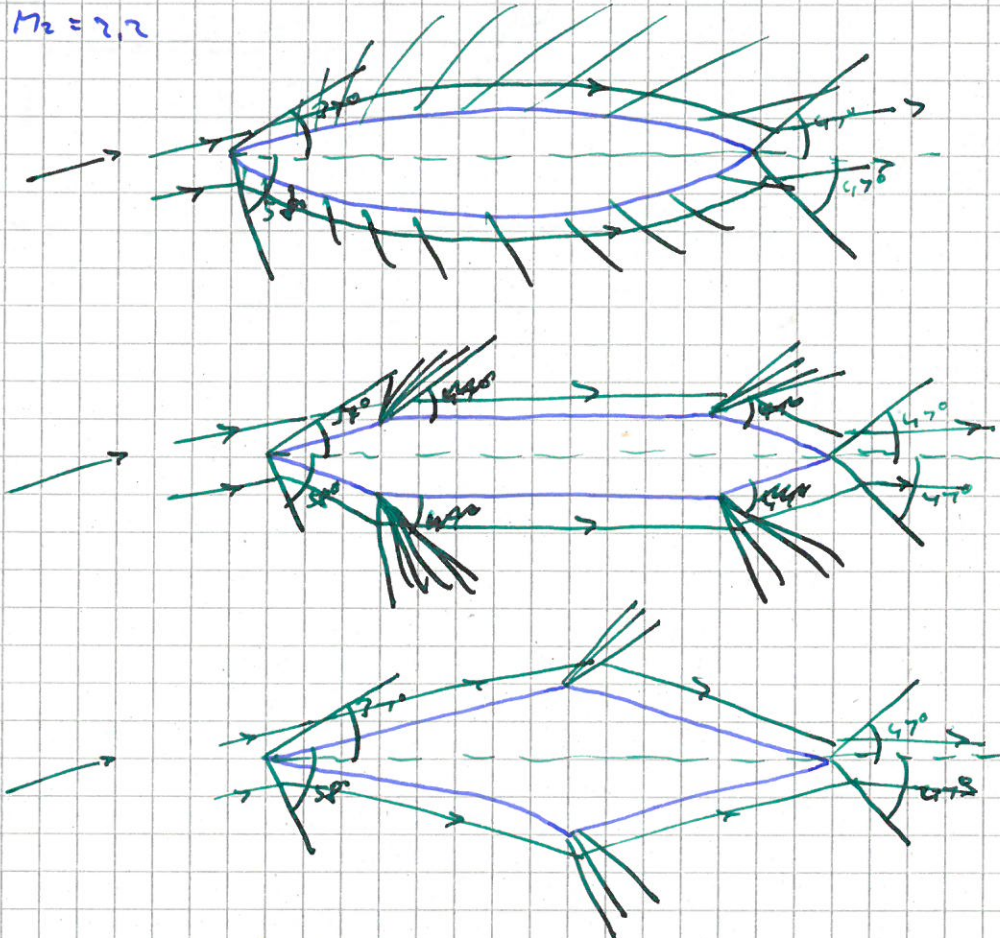
d) Maximaler Druckverlust bei $\sigma = 90^\circ$

9.58 $\rightarrow P_{02} = 70 \text{ bar} \rightarrow \frac{P_{02}}{P_{01}} = 0,727$

Anstellwinkel um 2° verringern

Machzahl erhöhen auf $M_{02} = 2,725 \rightarrow \sigma_{max} = 25^\circ$

e) $M_2 = 2,2$



In Wirklichkeit "Lötet" die Strömung an der Profilkant und wird dort so auf subsonische Geschwindigkeiten gebremst.

f) $M_2 = 2,2 \quad P_2 = 7,723 \text{ bar}$

$M_{3,oben} : \sigma = 37^\circ; \sigma = 75^\circ ; 9.59 \rightarrow M_{3,oben} = 1,625$

$\rightarrow M_{3,unten} = 2,02 \rightarrow 1,7$

~~9.470~~ : $P_{3,oben} = 2,36 \text{ bar}$

9.470 : $P_{3,unten} = 6,905 \text{ bar}$

$\sigma = 30^\circ$

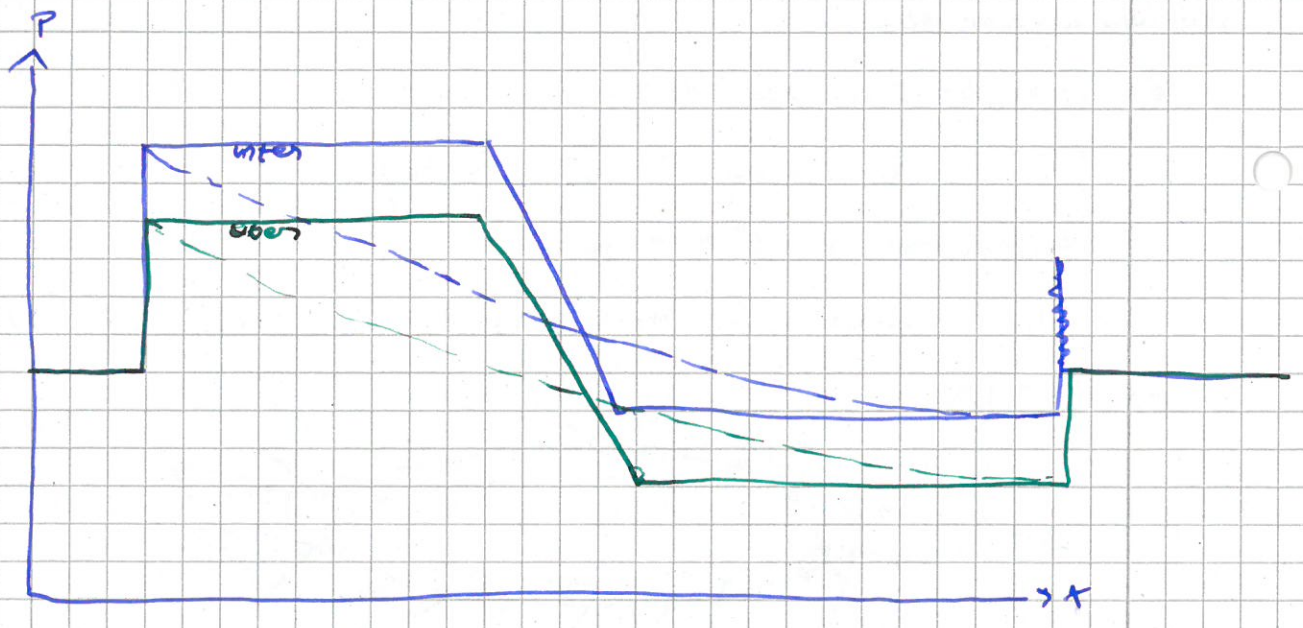
$M_{4,oben} = (\text{mit } 9.75) = 3,268$

$M_{4,unten} = 2,725$

9.776 : $P_{4,oben} = 0,2925 \text{ bar}$

$P_{4,unten} = 7,472 \text{ bar}$

2)



7

$$a) F(z) = i \ln(z) \frac{\Gamma}{2\pi} - i \frac{\Gamma}{2\pi} \ln(z-2Hi) + \frac{M}{2\pi} \frac{1}{z-(D+Hi)}$$

$\Gamma_1, \Gamma_2 > 0, M > 0$

$$b) w^*(z) = \frac{dF(z)}{dz} = \frac{i\Gamma}{2\pi z} - \frac{i\Gamma}{(z-2Hi)2\pi} + \frac{M}{2\pi (z-(D+Hi))^2}$$

Wend: ~~Wend~~ Wurm "+"

$$w^*(z=x+Hi) = \frac{H\Gamma}{\pi(x^2+H^2)} - \frac{M}{2\pi(x-D)^2}$$

Keine Komponente in y -Richtung?

$|w^*(z=x+Hi)| = 0 \checkmark \rightarrow$ Fiktive Wend zwischen Wirbeln

c) $x=0 \quad y \in (H-k, H+k); |k| < H$

Bei $|k| > H$ würden die Bereiche auf der anderen Seite der Dipole den inneren Volumenstrom wieder ausgleichen.

$$\psi(z) = \ln(F(z)) = \psi_1(x,y) = \frac{-\Gamma_1}{2\pi} \frac{x}{x^2+(y-2H)^2} + \frac{\Gamma_2}{2\pi} \frac{x}{x^2+y^2} + \frac{M}{2\pi} \frac{2(x-D)(y-H)}{(x-D)^2+(y-H)^2}$$

$$\frac{\dot{v}}{t} = |\psi_2(x,y) - \psi_1(x,y)|$$

~~$$\psi_2 = \psi(0,2H) = \frac{DH\Gamma}{(D^2+H^2)2\pi}$$~~

~~$$\psi_1 = \psi(0,0) = \frac{DH\Gamma}{(D^2+H^2)\pi}$$~~

$$\psi_2 = \psi(0, H-k) =$$

$$\psi_1 = \psi(0, H+k) =$$

$$\psi(x,y) = \frac{-\Gamma}{2\pi} \ln(\sqrt{x^2+(y-2H)^2}) + \frac{\Gamma}{2\pi} \ln(\sqrt{x^2+y^2}) - \frac{M}{2\pi} \frac{y-H}{(x-D)^2+(y-H)^2}$$

$$\frac{\dot{v}}{t} = \frac{\Gamma}{2\pi} \ln\left(\left|\frac{H-k}{H+k}\right|\right) + \frac{kM}{2(D^2+k^2)\pi}$$

Nicht nötig für Aufgabe c)

d) kein Dipol, $v_x(x,y) = 0$ auf $y=H$

~~xxxxx~~

$$v_x(x=x, y=H) = -\frac{\Gamma}{2\pi} \frac{-H}{x^2+H^2} + \frac{\Gamma}{2\pi} \frac{H}{x^2+H^2}$$

$$= \frac{H\Gamma}{\pi(x^2+H^2)} \quad ; \quad x=0$$

$$\Rightarrow \frac{\Gamma}{\pi H}$$

$$U_{\infty} = \frac{\Gamma}{\pi H} \quad ; \text{Dipol bei } (D, 0)$$

$$c) \quad F(z) = U_{\infty} \cdot z + \frac{\Gamma}{2\pi} \frac{1}{z-D}$$

$$f) \quad \text{Staupunkt: } W^* = 0 = \frac{dF(z)}{dz} = U_{\infty} - \frac{\Gamma}{2\pi(z-D)^2}$$

$$\text{Staupunkt bei } z = D \pm \frac{\sqrt{2\Gamma}}{2\sqrt{\pi} \cdot U_{\infty}}$$

$$\text{Symmetrie: } y_{sp} = 0 \rightarrow x_{sp,2} = D \pm \sqrt{\frac{\Gamma}{2\pi U_{\infty}}}$$

$$\text{Länge des Windkanalmodells: } x_{sp,2} - x_{sp,1} = 2\sqrt{\frac{\Gamma}{2\pi U_{\infty}}}$$

$$g) \quad y_s = D$$

y Pos. der Sonde ist auf Oberfläche der Dipol-Kontur

$$\rightarrow y_s = \sqrt{\frac{\Gamma}{2\pi U_{\infty}}}$$

~~$$v_y(\text{Sonde}) = 0$$~~

~~$$v_x(x, y) = U_{\infty} - \frac{\Gamma}{2\pi} \frac{(x-D)^2 - y^2}{((x-D)^2 + y^2)^2}$$~~

$$v_x(0, y_s) = 2U_{\infty}$$

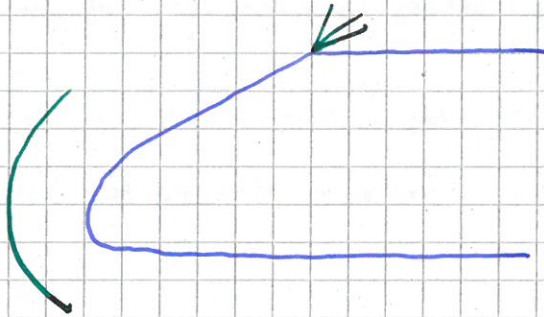
Umgebungsdruck: p_{∞}

$$p_{00} + \frac{\rho}{2} U_{\infty}^2 = p_s + 2\rho U_{\infty}^2$$

$$p_{00} = p_s + \frac{\rho}{2} U_{\infty}^2$$

2) $T = T_{0m} - 6,5 K \frac{\text{Höhe}}{1000m}$

a) $M_{a1} = 2,0 \quad H_1 = 20 \text{ km} \quad T_{0m} = 288,75 K$



b) $T_{0,20km} = T_1 = 758,2 K$

BZ Tabelle $T_2 = 267 K$

9.79: $T_0 = 284,8 K = T_{max}$

maximaler relativer Totaldruckverlust auf Steuerstromlinie

9.396 $\frac{P_{02}}{P_{01}} = 0,72087$

c) Dreieck $(0,0) - (N,0) - (0, \tan(\sigma) \cdot N)$

$\sigma = 45^\circ$

$\sin(\sigma) = \frac{R-x}{R+2,5m}$

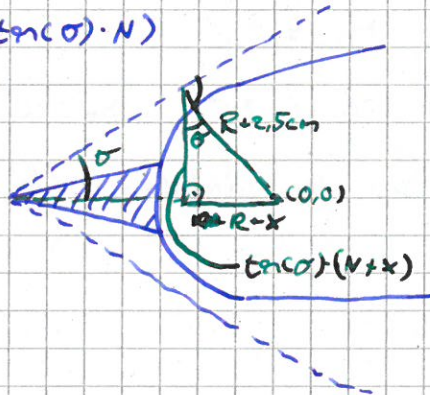
$\cos(\sigma) = \frac{\tan(\sigma)(N+x)}{R+2,5m}$

$x = 72,88 \text{ cm}$

$N = 24,29 \text{ cm} \quad \checkmark$

~~$\sin(\sigma) = \frac{R+x}{N+R}$~~

Nasenspitze bei $(74,25, 0) \text{ cm}$



$R = 0,5m$

d) xLvi: $\frac{P_{02}}{P_{01}} = 0,95$

xLvii: $M_{a2} = 2,745$

Dann senkrechter Stoß $\rightarrow R_2$

$M_{a2} = 0,77956 \quad |$

$\frac{P_{03}}{P_{01}} = 0,94484$

$\frac{P_{03}}{P_{01}} = \frac{P_{03}}{P_{02}} \cdot \frac{P_{02}}{P_{01}} = 0,8976$

Insgesamt: $\Delta = 1 - \frac{1 - \frac{P_{02}}{P_{01}}}{1 - \frac{P_{03}}{P_{01}}} = 0,16337 \rightarrow 16,3\%$

e) Totaldruckverlust sinkt mit spitzerem Keilwinkel

↳ Nebenstoß nach ~~27~~ steigt " " "

(Kopfzelle hebt ab einer Umkehrung von größer 23° ab.)

↳ wodurch der Totaldruckverlust über den schrägen Stoß steigt.

Quantitative Aussage über gesamten Totaldruckverlust kann nicht getroffen werden, da sich bei einem bestimmten Winkel ein Optimum einstellt.

f) $M_{a3} = 7,2$ $T_3 = 350 \text{ K}$ $\vartheta = 35^\circ$ $M_{a7} = 3,5$

9.79: $v(M_{a2}) = 3,558^\circ$

$v(M_{a4}) = v(M_{a2}) + \vartheta$

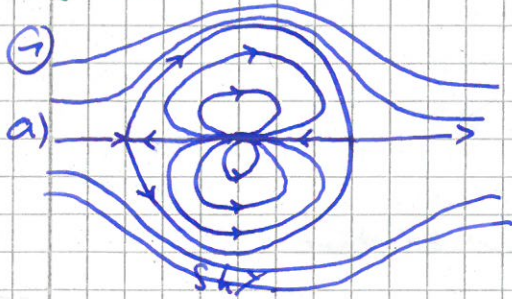
$v(M_{a4}) = 38,558^\circ \rightarrow M_{a4} = 2,476$

9.77a: $T_4 = 202,5 \text{ K}$

g) x(vii) : $M_{a2} = 2,6$

x(vii) : $M_{a7} = 7,5$, $M_{a2} = 2,6 \rightarrow \vartheta = 24^\circ$

Winkel zur Horizontalen: $\vartheta_{23} = 39^\circ$



~~Sh, \Gamma~~
 Sh, \Gamma und Charvoldis werden durch gleich aufgebaute Dipole dargestellt.

$$b) \psi(x, y) = U_{\infty} y - \frac{M_{sh}}{2\pi} \frac{y-a}{x^2+(y-a)^2} - \frac{M_{ch}}{2\pi} \frac{y+a}{x^2+(y+a)^2} - \frac{\Gamma}{2\pi} \ln(\sqrt{x^2+y^2}) - \frac{Q}{2\pi} \arctan\left(\frac{y}{x}\right)$$

$$M, \Gamma, Q > 0$$

$$c) U(x, y) = U_{\infty} - \frac{M}{2\pi} \left(\frac{x^2 - (y-a)^2}{(x^2 + (y-a)^2)^2} + \frac{x^2 - (y+a)^2}{(x^2 + (y+a)^2)^2} \right) - \frac{Q}{2\pi} \frac{y}{x^2+y^2} - \frac{\Gamma}{2\pi} \frac{y}{x^2+y^2}$$

$$V(x, y) = -\frac{M}{2\pi} \left(\frac{2x(y-a)}{(x^2 + (y-a)^2)^2} + \frac{2x(y+a)}{(x^2 + (y+a)^2)^2} \right) - \frac{Q}{2\pi} \frac{x}{x^2+y^2} + \frac{\Gamma}{2\pi} \frac{x}{x^2+y^2}$$

Bedingung: Er muss sich in einem Staupunkt befinden: $U(x, y) = V(x, y) = 0$

d) Es ist leichter, nahe an Charvoldis vorbei zu fahren, weil der Wirbel im Ursprung die Strömung auf dieser Seite beschleunigt.

e) Breite der Messenge: a

$$\frac{\dot{V}}{E} = |\psi(x, a-\frac{a}{2}) - \psi(x, a+\frac{a}{2})| = b \cdot \langle U \rangle \quad ; \quad x=0$$

Mittlere Geschw.

~~Wegen~~ $\psi(x, y)$ ist entlang einer Stromlinie konstant. Strom an Uferwänden der Messenge entspricht daher den gegebenen Staupunkten der beiden Dipole

$$|7,26 U_{\infty} \cdot a + 7,72 U_{\infty} a| = \langle U \rangle \cdot a$$

$$\langle U \rangle = 2,38 U_{\infty}$$

$$f) \Delta \varphi = \frac{3}{4} a$$

$$|E| = \frac{a}{2} \pi U_{\infty} \quad ; \quad |\Gamma| = \frac{a}{4} \pi U_{\infty} \quad ; \quad |\Gamma| = \frac{225}{544} \pi a^2 U_{\infty}$$

$$E > 0 \quad (\text{in obiges Formel ist } \hat{\quad} - \text{ schon a Klarte})$$

$$\Gamma > 0$$

$$Q > 0$$

Potentialtheoretisch geht die Geschw. hier gegen unendlich, in

Wirklichkeit natürlich nicht.

g) $C_p = \frac{v^2 + v^2}{U_\infty^2} + 1$
 Vorbeifahrt bei $(0, \frac{1}{4}a)$

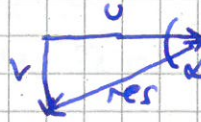
$U(0, \frac{1}{4}a) = U_\infty - 2$

$V(0, \frac{1}{4}a) = +U_\infty$ ~~Kreisströmung~~

$C_p = \frac{v^2 + v^2}{U_\infty^2} + 1 = -4 \rightarrow$ Es besteht Unterdruck

h) $\tan(\alpha) = \frac{v}{u}$

$\alpha = 26,57^\circ$ zur Transl. str.



$\Omega = 0$, weil entlang einer Stromlinie die Wirbelstärke immer null ist. (Potentialtheorie)

i) $S_1 \stackrel{!}{=} S_2$, um Ellipsenform zu erreichen

Translationsströmung U_∞ in x -Richtung

Quelle S_1 bei $(0,0)$; Senke S_2 bei $(b,0)$

j) $F(z) = U_\infty z + \frac{S_1}{2\pi} \ln(z) - \frac{S_2}{2\pi} \ln(z-b)$

$W^*(z) = \frac{dF(z)}{dz} = U_\infty + \frac{S_1}{2\pi z} - \frac{S_2}{2\pi(z-b)}$

Staupunkte bei $W^*(z) = 0$

Symmetrie: $y_{sp} = 0 \rightarrow \operatorname{Im}(W^*(z)) = 0$

$x_{sp} = \frac{1}{2\sqrt{\pi}U} (\sqrt{b(2S+6\pi U_\infty)U_\infty} + b\sqrt{\pi}U)$

$= \frac{\sqrt{b(2S+6\pi U_\infty)U_\infty}}{2\sqrt{\pi}U_\infty} \pm \frac{b}{2}$

~~Staupunkte~~

$= \frac{b}{2} \pm \sqrt{\frac{2b(2S+6\pi U_\infty)U_\infty}{\pi U_\infty}}$

② $H = 750 \text{ mm}$ $b = 750 \text{ mm}$ $M_1 = 2,5$ $P_0 = 756 \text{ bar}$ $T_0 = 450 \text{ K}$

a) 9.19: $T_1 = 200 \text{ K}$

9.20a: $P_1 = 0,8779 \text{ bar}$

$C_1 = \sqrt{\kappa R T_1} = 283,5 \frac{\text{m}}{\text{s}} \rightarrow V_1 = 708,8 \frac{\text{m}}{\text{s}}$

$C_1 = \sqrt{\kappa \frac{P_1}{\rho_1}} \Rightarrow \rho_1 = 7,529 \frac{\text{kg}}{\text{m}^3}$

$A_1 = \frac{H \cdot b}{\rho_1} = 0,7725 \text{ m}^2$

9.26: $A^* = \left(\frac{2,6267R}{A_1}\right)^{-1} = 0,04267 \text{ m}^2$

b) $\frac{A_1}{A^*} = 2,63672$ (Aus Anhang B7)

$\frac{A_2}{A^*} = 2,63672 \rightarrow Ma_1 = 0,22$ (Aus Anhang B7)

$\frac{P_1}{P_0} = 0,96685 \rightarrow P_1 = 74,56 \text{ bar}$

$\frac{T_1}{T_0} = 0,99047 \rightarrow T_1 = 445,7 \text{ K}$

c) $\alpha = 20^\circ$ $\beta = 32,5^\circ$

II: Senkrechter Verdichtungsstoß Ma, P, T

$Ma_1 = 2,5$ $P_2 = 0,87796 \text{ bar}$ $T_2 = 200 \text{ K}$

9.38c : $P_2 = 6,2556 \text{ bar}$

9.35c : $Ma_2 = 0,573$

9.38c : $T_2 = 427,5 \text{ K}$

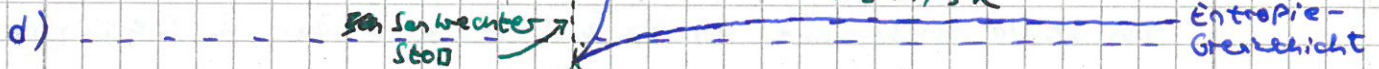
III: Schräger Stoß mit $\psi = 20^\circ$

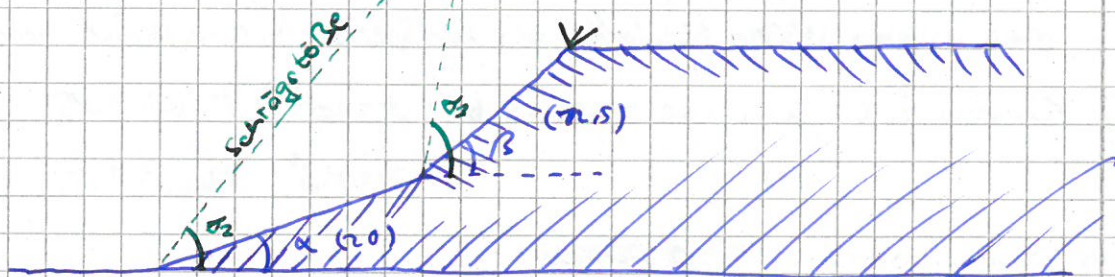
Diagramm xlv: $\sigma_2 = 43^\circ$

Diagramm xlvii: $Ma_3 = 7,5 = 7,65$ in Lösung \rightarrow schlecht abgelesen?

~~Diagramm xlviii~~ 9.47a : $P_3 = 2,4736 \text{ bar}$ ζ ff
 $= 2,8476 \text{ bar}$

9.74b mit 9.74a und 9.44 : $T_3 = 292,4 \text{ K}$ ζ ff
 $= 297,3 \text{ K}$

d) 



$Ma_4 = 0,95$ (Diagramm xlvii)

$\sigma_3 = 53,25^\circ$ (9.49) ; Expansionsflächen: Umlenkung um $-32,5^\circ$

Senkrechter Stoß: $Ma_1 = 2,5$ zu groß für $\psi_{ges} = 32,5^\circ$

7 \rightarrow 3 : Umlenkung um 20° bei Ma_7 , 3 \rightarrow 4 Umlenkung um $32,5^\circ$ bei Ma_3

Entropie trennschicht: Zwischen 2 und 6 herrscht unterschiedl. ρ und v

4 \rightarrow 6 : Schrägstoß stellt gleichen P und Richtung zwischen 2 und 6 her

e) Diagramm xlvii : $M_{a4} = 7,775$

$$9.79 : \sqrt{M_{a4}} = ~~4,47~~ 2,956^\circ$$

$$9.75 : \sqrt{M_{a5}} = \sqrt{M_{a4}} + \alpha_{45}$$

$$\sqrt{M_{a5}} = ~~4,47~~ 35,46^\circ$$

$$M_{a5} = ~~2,347~~ ; \alpha_{45} = 755,7^\circ$$

$$C_4 = \sqrt{\kappa R T_4} ; C_5 = \sqrt{\kappa R T_5}$$

$$T_2 = 427,5 \text{ K} ; T_4 = 200 \text{ K}$$

$$9.746 \text{ mit } 9.470 \text{ und } 9.44 : T_2 = 297,3$$

$$T_4 = 357 \text{ K}$$

$$9.770 : T_5 = 273,7 \text{ K}$$

$$C_4 = 375,6 \frac{\text{m}}{\text{s}} \rightarrow v_4 = 447,3 \frac{\text{m}}{\text{s}}$$

$$C_5 = 292,7 \frac{\text{m}}{\text{s}} \rightarrow v_5 = 686,9 \frac{\text{m}}{\text{s}} \quad \text{Leichte Abweichung bei den Diagrammen, sonst richtig.}$$

f) Für Zustand 6 müssen Druck und Strömungswinkel identisch zu der Strömung sein, die direkt über dem Kreuzungspunkt den Stoß darüber durchquert. Der Strömungswinkel stellt damit gleichzeitig die effekt. Umlenkung des als senkrecht angenommenen Stoßes dar. Also ist die Annahme eines senkrechten Stoßes genau über dem Kreuzungspunkt falsch, da sich hier entsprechen der effektiven Umlenkung der drei unteren Stößen ebenfalls ein schräger Stoß einstellen muss.

g) Diagramm xlv: kritische Machzahl bei $\alpha = 20^\circ : M_{a27} \approx 7,85$

$$\alpha = 72,5^\circ : M_{a33} \approx 7,57 \quad \zeta$$

→ Diagramm xlvii : ~~Diagramm~~

$$M_{a1} \approx 2,3$$

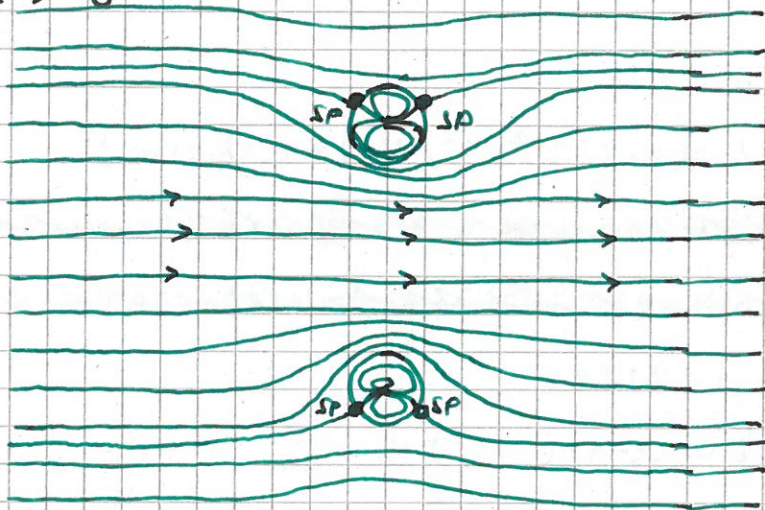
Lösung hat hier ein "i"

①

a) $F(z) = U_0 \cdot z - i \frac{\Gamma}{2\pi} \ln(z-ai) + i \frac{\Gamma}{2\pi} \ln(z+ai) - \frac{\mu}{2\pi} \left(\frac{1}{z+ai} + \frac{1}{z-ai} \right)$

b) $\Gamma, \mu > 0$

b)



Hier an Ende müssen die Stromlinien eigentlich etwas auseinanderlaufen!

c) An der Wand gilt $\check{v}(x, y) = 0 \rightarrow \operatorname{Im} \left(\frac{dF(z)}{dz} \right) \stackrel{!}{=} 0$ für $y=0$

$$W^*(z) = \frac{dF(z)}{dz} = U_0 + \frac{a\Gamma}{\pi(z^2+a^2)} - \frac{\mu(z^2-a^2)}{\pi(z^2+a^2)^2}$$

~~vorher~~ Alle "i" entfallen auf $y=0$

$\rightarrow \operatorname{Im}(W^*(z)) = 0$ für $y=0 \rightarrow$ Fiktive Wand
 $= v(x, y)$

d)

~~Wand~~

$$\frac{\dot{V}}{t} = |\Psi(0, R-a) - \Psi(0, a-R)|$$

Parameter

~~$\Psi(x, y) = U_0 x - \frac{\Gamma}{2\pi} \ln \left(\sqrt{x^2 + (y-a)^2} \right) + \frac{\Gamma}{2\pi} \ln \left(\sqrt{x^2 + (y+a)^2} \right) - \frac{\mu}{2\pi} \left(\frac{1}{x^2 + (y-a)^2} + \frac{1}{x^2 + (y+a)^2} \right)$~~

~~$\Psi(x, y) = U_0 x - \frac{\Gamma}{2\pi} \ln \left(\sqrt{x^2 + (y-a)^2} \right) + \frac{\Gamma}{2\pi} \ln \left(\sqrt{x^2 + (y+a)^2} \right) - \frac{\mu}{2\pi} \left(\frac{1}{x^2 + (y-a)^2} + \frac{1}{x^2 + (y+a)^2} \right)$~~

$\Psi(x=0, |y| < a) = \operatorname{Im}(F(z))$

~~Wand~~

$F(0 + (R-a)i) = -3,742 - 5,352i$

$\Psi(0, R-a) = -5,352 \rightarrow$ Symmetrie ergibt:

$\frac{\dot{V}}{t} = 2 \cdot \Psi(0, R-a) = 70,7 \frac{m^3}{sm}$

$$e) \quad \phi = U_0 \left(r \cos(\varphi - \alpha) + \frac{R^2}{r} \cos(\alpha - \varphi) \right) + \frac{\Gamma}{2\pi} \varphi$$

$$V_r(r, \varphi) = \frac{\partial \phi}{\partial r} = U_0 \cos(\varphi - \alpha) - \frac{1}{r^2} (\cos(\alpha - \varphi) \cdot R^2 \cdot U_0)$$

$$V_\varphi(r, \varphi) = \frac{1}{r} \frac{\partial \phi}{\partial \varphi} = \frac{\Gamma}{2\pi r} + \frac{1}{r^2} (\sin(\alpha - \varphi) \cdot R^2 \cdot U_0) + \sin(\alpha - \varphi) \cdot U_0$$

$$\Psi(r, \varphi) = \int V_r(r, \varphi) dr$$

$$= \left[\frac{1}{r} (\cos(\alpha - \varphi) \cdot (r^2 + R^2) \cdot U_0) + C(\varphi) \right] + C_1$$

~~$$\Psi(r, \varphi) = \int V_\varphi(r, \varphi) d\varphi = \int \left(\frac{\Gamma}{2\pi r} + \frac{1}{r^2} (\sin(\alpha - \varphi) \cdot R^2 \cdot U_0) + \sin(\alpha - \varphi) \cdot U_0 \right) d\varphi$$~~

~~$$= \left[\frac{\Gamma}{2\pi} \ln(r) + \frac{1}{r} (\cos(\alpha - \varphi) \cdot R^2 \cdot U_0) + C(r) \right] + C_2$$~~

$$\Psi(r, \varphi) = \int V_\varphi(r, \varphi) d\varphi$$

$$= \left[\frac{1}{r} \cos(\varphi - \alpha) \cdot (r^2 + R^2) \cdot U_0 + \frac{\Gamma}{2\pi r} \cdot \varphi + C(r) \right] + C_2$$

$$C(\varphi) = 0 \quad ; \quad C(r) = -\frac{\Gamma}{2\pi} \ln(r) \quad C_1 = C_2 = C$$

$$\Psi(r, \varphi) = \frac{1}{r} (\cos(\alpha - \varphi) \cdot (r^2 + R^2) \cdot U_0) + C$$

$$\Psi(R, \varphi) = -\frac{\Gamma}{2\pi} \ln(R) \quad \rightarrow$$

$$\Psi(r, \varphi) = U_0 r \sin(\varphi - \alpha) \left(1 - \frac{R^2}{r^2} \right) - \ln(r) \frac{\Gamma}{2\pi}$$

$$e) \quad \phi(r, \varphi) = U_0 \left(r \cos(\varphi - \alpha) + \frac{R^2}{r} \cos(\alpha - \varphi) \right) + \frac{\Gamma}{2\pi} \varphi$$

$$V_r(r, \varphi) = -\frac{\partial \phi}{\partial r} = -\frac{1}{r^2} (\cos(\alpha - \varphi) (r^2 - R^2) \cdot U_0)$$

$$V_\varphi(r, \varphi) = \frac{1}{r} \frac{\partial \phi}{\partial \varphi} = \frac{1}{r^2} (\sin(\alpha - \varphi) \cdot R^2 \cdot U_0) + \sin(\alpha - \varphi) U_0 + \frac{\Gamma}{2\pi r}$$

$$V_r = -\frac{1}{r} \frac{\partial \Psi}{\partial \varphi} \rightarrow \Psi_1 = \frac{1}{r} (\sin(\varphi - \alpha) (r^2 - R^2) U_0) + C_1(\varphi)$$

$$V_\varphi = -\frac{\partial \Psi}{\partial r} \rightarrow \Psi_2 = \frac{1}{r} (\sin(\alpha - \varphi) R^2 U_0) - \sin(\alpha - \varphi) - \frac{\Gamma}{2\pi} \ln(r) + C_2(r)$$

~~$$\Psi_1 = \frac{1}{r} \sin(\alpha - \varphi) (r^2 - R^2) U_0 + C_1(\varphi)$$~~

~~$$\Psi_2 = \frac{1}{r} \sin(\alpha - \varphi) (r^2 - R^2) U_0 - \frac{\ln(r) \Gamma}{2\pi} + C_2(r)$$~~

$$\Psi_1 = \frac{-\sin(\alpha - \varphi) (r^2 - R^2) U_0}{r} + C_1(\varphi)$$

$$\Psi_2 = \frac{-\sin(\alpha - \varphi) (r^2 - R^2) U_0}{r} - \frac{\ln(r) \Gamma}{2\pi} + C_2(r)$$

$$C_1(r) = C$$

$$C_2(\varphi) = -\frac{\ln(r) \Gamma}{2\pi}$$

$$\Psi(r, \varphi) = \frac{-\sin(\alpha - \varphi) (r^2 - R^2) U_0}{r} - \frac{\ln(r) \Gamma}{2\pi} + 0 \quad \checkmark$$

Neuer
Versuch
unten...

f) Staupunkt bei $r = R$ $v_x(r, \varphi) \stackrel{!}{=} 0$

$$v_x(R, \varphi) = \frac{1}{R^2} (\sin(\alpha - \varphi) R^2 U_{\infty}) + \sin(\alpha - \varphi) U_{\infty} + \frac{\Gamma}{2\pi R} = 0 ; \alpha = 0^\circ$$

$$r_{sp} = U_{\infty} \sin\left(\frac{\Gamma}{4\pi R U_{\infty}}\right) \quad r_{sp} = R$$

~~kein Staupunkt wenn Strömungsgeschwindigkeit Hindernis überfließt~~

~~ausgerechnet $\alpha = 0^\circ$~~

keine Lösung für $|\frac{\Gamma}{4\pi U_{\infty}}| > 1$; Nur eine für $|\frac{\Gamma}{4\pi U_{\infty}}| = 1$

↳ weil Staupunkte dann nicht mehr bei $r = R$ liegen...

g) $\Gamma = 2\sqrt{2}\pi R U_{\infty}$

$$C_p = 1 - \left(\frac{-\sqrt{U^2 + v^2}}{U_{\infty}}\right)^2 ; r = R$$

~~$C_p = 4\sin^2(\alpha - \varphi) - 4\sin(\alpha - \varphi)\sqrt{2} - 1$~~

$$C_p = -4\sin^2(\alpha - \varphi) - 4\sin(\alpha - \varphi)\sqrt{2} - 1$$

An der Körperhinterseite ist $v_x = 0$!

~~$C_p =$~~

h) $\alpha = 0$; $C_{p,max} = 1$; $R = 0,5m$

$$\rightarrow \varphi_1 = \frac{\pi}{4} \quad \varphi_2 = \frac{3\pi}{4}$$

$$r_1 = R \quad r_2 = R$$

Druckbeiwert am größten in den Staupunkten

i) Kraft wirkt in neg. x -Richtung, da ^{unter} der Binde ein Druckminimum - und ^{über} der Binde ein Maximum herrscht. (Magnus-Effekt)

②

a) $H = 78,2 \text{ km}$ $P_1 = 0,0726 \text{ bar}$ $T_1 = 220 \text{ K}$ $\sigma_2 = 70^\circ$ $\sigma_2 = 28,94^\circ$

~~...~~

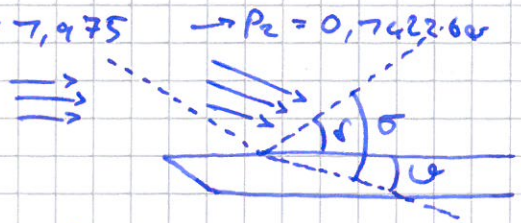
9.49 : $M_{a2} = 2,18$

~~...~~ 9.79 : $T_{07} = 565 \text{ K}$

~~...~~ 9.20a : $P_{07} = 7,954 \text{ bar}$

9.59 : $M_{a2} = 2,34$ 9.47a : $\frac{P_2}{P_1} = 7,975$ $\rightarrow P_2 = 0,7422 \text{ bar}$

Anhang B7 $\frac{P_2}{P_02}$



b) $\sigma_2 = 70^\circ$

9.49 : $\sigma_3 = 23,79^\circ \rightarrow \delta = 23,79^\circ$

9.59 : $M_{a3} = 7,947$

9.47a : $P_3 = 0,2573 \text{ bar}$

c) $A_u = 0,8 \text{ m}^2$

9.35 : $M_{a4} = 0,5867$

~~...~~ 9.74b mit 9.47a und 9.44 : $T_2 = 354,5 \text{ K}$

$T_3 = 538,2 \text{ K}$

9.38a : $T_4 = 825,3 \text{ K}$

~~...~~ $T_{04} = 814,2 \text{ K}$

$T_{04} \stackrel{!}{=} T_{07} \rightarrow T_{04} = 565 \text{ K}$

~~...~~ P_{04}

9.38c : $P_4 = 7,095 \text{ bar}$

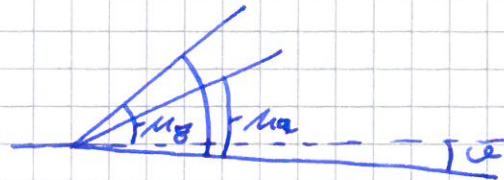
~~...~~ Tabelle D7 : $P_{04} = 7,386 \text{ bar}$

9.24 : $\dot{m} = 756,5 \frac{\text{kg}}{\text{s}}$

d) $M_{a9} = 2,49$ $\epsilon = 22,08^\circ$

9.74 : $V(M_{a9}) = 38,89^\circ$

$V(M_{a9}) = V(M_{a8}) + \sigma_{89}$; σ_{89}



~~...~~

~~...~~

Anhang B7 : $M_{a9} = 27,679^\circ \rightarrow \sigma = 7,599^\circ$

9.75 : $M_{a2} = 2,423$

d) $\delta = \mu_8 + \varphi - \mu_7$

$\mu_8 = \epsilon + \phi = \nu \sin\left(\frac{7}{\mu_{sp}}\right) = 24,13^\circ$

$\mu_7 = 23,679^\circ$

$\delta = \phi = 2,295^\circ$

~~9.201 : $P_4 = P_7 = 0,072 \text{ bar}$~~

~~9.202 : $P_4 = P_7 = 0,072 \text{ bar}$~~

$1,776 \cdot \frac{P_4}{P_8} = 0,9009 \text{ bar} \rightarrow P_8 = 0,07992 \text{ bar}$

9.201 : $P_{08} = 7,2776 \text{ bar}$

e) $\frac{C_8}{C_5} = 2,04 \quad V_6 = 793,9 \frac{\text{m}}{\text{s}} \quad \dot{m}_6 = 765 \frac{\text{kg}}{\text{s}}$

$\dot{m}_{06} \cdot C_6 = V_6$

$C_6^* = \sqrt{h R T_6}$

$\frac{C_6^*}{C_5^*} = \sqrt{\frac{T_6}{T_5}}$

$T_{05} = T_{07} = 565 \text{ K}$

$C_5^* = \sqrt{2 \frac{h}{h+1} R T_{05}} = 435 \frac{\text{m}}{\text{s}}$

$C_6^* = 887,5 \frac{\text{m}}{\text{s}}$

$\dot{m}_{06} = \frac{V_6}{C_6} = 0,2785$

$C_6 = \sqrt{2 \frac{h}{h+1} R T_{06}} \rightarrow T_{06} = 2352 \text{ K}$

~~9.203 : $P_6 = P_8 = 7,2776 \text{ bar}$~~

~~9.204 : $P_6 = P_8 = 7,2776 \text{ bar}$~~

9.24 : $A_6 = 4,336 \text{ m}^2$

f) $F_B = \dot{m}_e V_e + A_e (P_A - P_1)$

$T_{05} = T_{08} = 2352 \text{ K} ; P_{08} = 7,2776 \text{ bar} ; P_8 = 0,9009 \text{ bar} ; \dot{m}_{08} = 2,423$

$\dot{m}_e = 47,77 \cdot A_e \frac{\text{kg}}{\text{s}} \quad C_8 = \sqrt{h R T_8} \quad P_7 = 0,072 \text{ bar}$

9.79 : $T_e = 7082 \text{ K} \rightarrow C_e = \sqrt{h R T_e} = 659,5 \frac{\text{m}}{\text{s}} \rightarrow V_e = 7598 \frac{\text{m}}{\text{s}}$

$\dot{m}_0 = \dot{m}_e = 765 \frac{\text{kg}}{\text{s}} \rightarrow A_e = 4,074 \text{ m}^2$

$F_e = 2,668 \cdot 10^5 \text{ N}$

①

a)
$$F(z) = U_{\infty} z + \frac{\Gamma}{2\pi} \frac{1}{z-1} + \frac{\Gamma}{2\pi} \frac{1}{z+1}$$

$$= U_{\infty} z + \frac{\Gamma}{2\pi} \frac{z}{z^2-1}$$

b)
$$U^*(z) = \frac{dF(z)}{dz} = U_{\infty} - \frac{\Gamma}{2\pi} \frac{2z}{(z^2-1)^2}$$

Breite ist Distanz zwischen vorderem und hinterem Staupunkt

$\text{Im}(U^*) = 0$ (keine Geschwindigkeit in y-Richtung)

$\text{Re}(U^*) = 0 \rightarrow x_{\text{sp1}} = -\sqrt{5}$

$x_{\text{sp2}} = +\sqrt{5}$

Breite $B = 2\sqrt{5}$

c) Konturlinie ist Stromlinie ~~etc~~ Durch Staupunkt

~~$\Psi(x,y) = U_{\infty} y + \frac{\Gamma}{2\pi} \arctan\left(\frac{y}{x-1}\right) + \frac{\Gamma}{2\pi} \arctan\left(\frac{y}{x+1}\right)$~~

$$\Psi(x,y) = U_{\infty} y + \frac{3U_{\infty}}{4} \frac{y}{(x-1)^2+y^2} + \frac{3U_{\infty}}{4} \frac{y}{(x+1)^2+y^2}$$

$\Psi(-\sqrt{5}, 0) = 0$

Konturgleichung: $0 = U_{\infty} y + \left(\frac{3}{4}\right) U_{\infty} \frac{y}{(x-1)^2+y^2} + \left(\frac{3}{4}\right) U_{\infty} \frac{y}{(x+1)^2+y^2}$

$\Psi_h(0, H_{VT}) = 0 \rightarrow H_{VT} = \frac{\sqrt{15}}{3}$

d) $v(0, H_{VT}) = 0$

$$U(x,y) = U_{\infty} - \frac{\Gamma}{2\pi} \frac{(x-1)^2 - y^2}{((x-1)^2 + y^2)^2} - \frac{\Gamma}{2\pi} \frac{(x+1)^2 - y^2}{((x+1)^2 + y^2)^2}$$

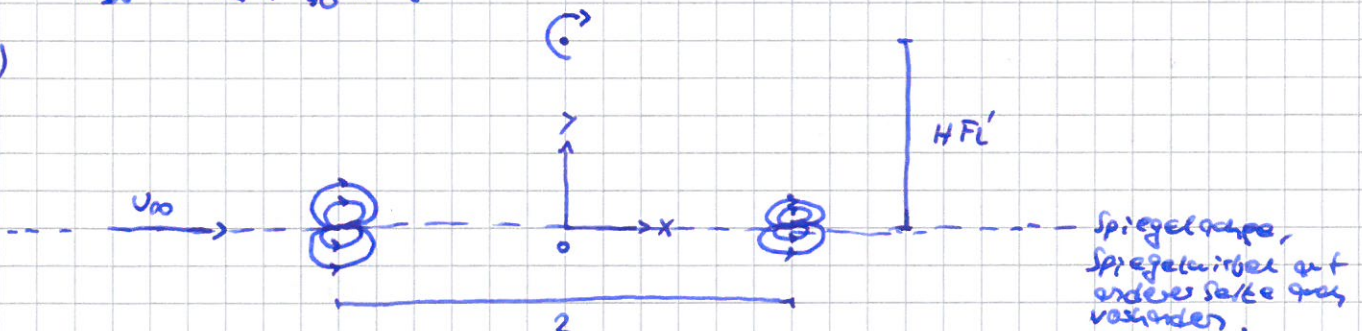
$U(0, H_{VT}) = \frac{5}{4} U_{\infty} \rightarrow U_{\infty} = \frac{4}{5} U_s$

~~$\rho U^2 + p = \rho U_{\infty}^2 + p_{\infty}$~~

Bernoulli: $P_{10} + \frac{\rho}{2} U_{10}^2 = P_s + \frac{\rho}{2} U_s^2$

$P_{10} = P_s + \frac{9}{50} \rho U_s^2$

e)



$$\Psi(x,y) = U_{\infty} y - \frac{\Gamma}{2\pi} \left(\frac{y}{(x-1)^2+y^2} + \frac{y}{(x+1)^2+y^2} \right) + \frac{\Gamma}{2\pi} \ln(\sqrt{x^2+(y-H_{FL})^2})$$

$$- \frac{\Gamma}{2\pi} \ln(\sqrt{x^2+(y+H_{FL})^2}) \quad : U_{\infty} \Gamma / \pi > 0$$

f) $M' = k \cdot M$; $H_{VT}' = H_{VT}$

$M = \frac{8\pi}{3} U_{00}$; $H_{VT} = \frac{5}{3}$; $\Gamma = -\frac{5}{3} \cdot 2\pi U_{00}$; $H_{FC}' = 9 H_{VT}'$

Wandkontur soll gleich bleiben: $\Psi'(x, y) \stackrel{!}{=} \Psi_k(x, y) = 0$

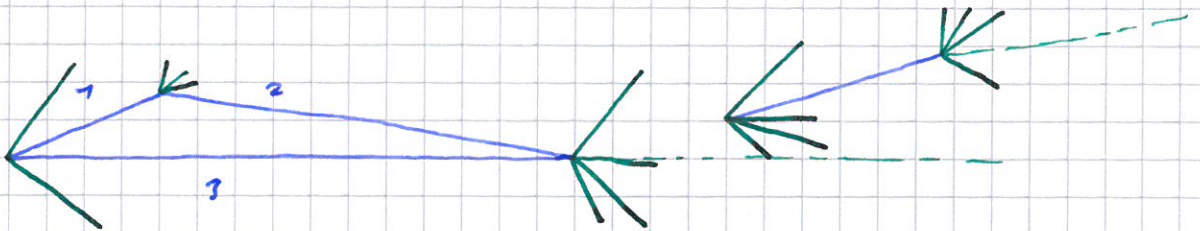
$$\Psi(x, y) = U_{00}y - \frac{M'}{2\pi} \frac{y}{(x+\eta)^2 + y^2} - \frac{M'}{2\pi} \frac{y}{(x-\eta)^2 + y^2} - \frac{\Gamma}{2\pi} \ln(\sqrt{x^2 + (y+H_{FC}')^2}) + \frac{\Gamma}{2\pi} \ln(\sqrt{x^2 + (y-H_{FC}')^2}) \stackrel{!}{=} 0$$

$y = H_{VT}'$; $x = 0$ \Downarrow

② $U_0 = 743,4 \frac{m}{s}$; $P_0 = 0,246 \text{ bar}$; $\rho = 0,78 \frac{kg}{m^3}$

$\gamma_1 = 75^\circ$; $\gamma_2 = 5^\circ$; $\gamma_3 = 75^\circ$; $\alpha = 5^\circ$; $l_1 = 7m$; $l_2 = 3m$; $l_3 = 7m$; $\beta = 2^\circ$

a)



b)

~~9.58~~ $c_0 = \sqrt{k \frac{P_0}{\rho_0}} = 297,4 \frac{m}{s}$; $T_0 = 220K$

$M_{a0} = 2,5$ ~~9.59~~

~~9.59~~ $P_0 = 0,246 \text{ bar}$

~~9.60~~

~~9.61~~ $\sigma_{01} = 37,85^\circ$

~~9.62~~ $\sigma_{02} = 50,79^\circ$

~~9.63~~ $P_0 = 0,246 \text{ bar}$

9.49 : $\sigma_{01} = 37,85$; $\sigma_{01} = 70^\circ$

9.47a : $P_1 = 0,4473 \text{ bar}$

(Mit 9.59 : $M_{a1} = 2,086$) $M_{a1} =$

$\sigma_{02} = 20^\circ \rightarrow 9.49$: $\sigma_{02} = 50,79^\circ$

~~9.47a~~ $P_0 = 0,246 \text{ bar}$

~~9.74~~ 9.74 : $V(M_{a1}) = 28,72^\circ$

9.75 : $V(M_{a2}) = 48,72^\circ \rightarrow M_{a2} = 2,947$

9.77b : $P_2 = 0,779 \text{ bar} \rightarrow M_{a3} = 2,292$

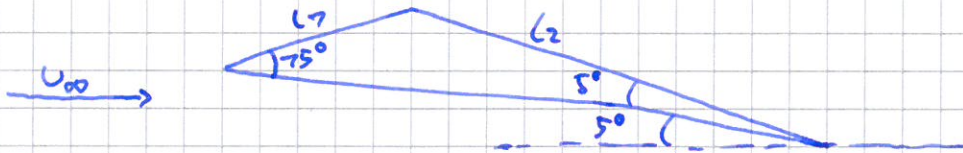
9.47a : $P_3 = 0,3377 \text{ bar}$ mit $\sigma_{03} = 27,42^\circ$; $\sigma_{03} = 5^\circ$

~~9.77b~~ $P_0 = 0,246 \text{ bar}$

Totaldruckverlust von $0 \rightarrow 7$ ist größer weil der Stoß mit größerem ~~Winkel~~ ~~Steigungswinkel~~ Umlenkung aus stärker ist.

$$c) A = -P_1 L_1 \cos(70^\circ) - P_2 L_2 \cos(70^\circ) + P_3 (L_1 \cos(75^\circ) + L_2 \cos(5^\circ)) \cos(5^\circ) = 57,69 \frac{kN}{m}$$

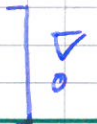
$$U = P_1 L_1 \sin(70^\circ) - P_2 L_2 \sin(70^\circ) + P_3 (L_1 \overset{\cos}{\cancel{\sin}}(75^\circ) + L_2 \overset{\cos}{\cancel{\sin}}(5^\circ)) \sin(5^\circ) = 73,07 \frac{kN}{m}$$



Es ist bekannt, dass ein Profil in reibungsfreier Unterschallströmung keinen Widerstand erzeugt (d'Alembert'sches Paradoxon). In Überschall jedoch existiert ein Widerstand aus bei reibungsfreier Strömung. Er wird Wellenwiderstand genannt und hängt unmittelbar mit dem Totdruckverlust und dem Entropieanstieg über die durch das Profil erzeugten Schrägen stoßen zusammen. In dem obigen Beispiel entsteht der

Widerstand durch die Verdrängungswirkung und die Anstellung des Profils.

Er setzt sich daher aus dem volumenbedingten und auftriebbedingten Wellenwiderstand zusammen.



d) $Ma_2 = 2,9$ $P_2 = 0,73 \text{ bar}$ $Ma_0 = 2,5$ $\epsilon_{TS} : 2^\circ$

$\mu = 30^\circ$

Tabelle B_7 : $Ma_7 = 2$ ~~2,5~~ ~~2,9~~ ~~2,5~~ ~~2,9~~

$\beta_{07} = 75^\circ - x$ Anstellwinkel

~~4,5~~

9.49 : $\beta_{07} = 72^\circ$ ($x(vii)$)

Anstellwinkel von 3°

e) M_{a_4} gesucht:

$$\alpha_{24} = \beta_2 + \beta = \overset{+0,5^\circ}{\cancel{70^\circ}} = 70^\circ$$

$$9.49: \sigma_{24} = \overset{0,055}{\cancel{0,055}} \cdot 28,73^\circ$$

$$9.59: M_{a_4} = \overset{2,423}{\cancel{2,423}}$$

f) Totaldruck in Gebiet 5 höher. Verlust ist an den steileren

Stößen bei $0 \rightarrow 1$ und $2 \rightarrow 4$ größer als unter dem Flügelprofil

$$g) A = -P_6 \cdot L_6 \cdot \cos(73^\circ) + P_7 \cdot L_6 \cdot \cos(73^\circ) \quad L_6 = 7m$$

$$W = P_6 \cdot L_6 \cdot \sin(73^\circ) - P_7 \cdot L_6 \cdot \sin(73^\circ)$$

$$P_2 = \overset{0,736}{\cancel{0,736}} \text{ bar} \quad M_{a_2} = 2,9$$

$$M_{a_4} = 2,423 \quad \sigma_{24} = 28,73^\circ \quad \alpha_{46} = \alpha_{47} = 73^\circ$$

$$\sigma_{24} = 28,73^\circ \quad \alpha_{24} = \overset{70^\circ}{\cancel{70^\circ}}$$

$$9.470: P_6 = 0,2679 \text{ bar}$$

$$\overset{0,2679}{\cancel{0,2679}} \cdot 9.49: \sigma_{46} = \overset{35,75^\circ}{\cancel{35,75^\circ}} \quad \overset{73^\circ}{\cancel{73^\circ}}$$

$$9.470: P_6 = 0,5687 \text{ bar}$$

$$9.74: \alpha \cdot D(M_{a_4}) = \overset{37,3^\circ}{\cancel{37,3^\circ}}$$

$$D(M_{a_7}) = 73 + D(M_{a_4}) = \overset{50,3^\circ}{\cancel{50,3^\circ}}$$

$$M_{a_7} = \overset{3,028}{\cancel{3,028}}$$

$$9.776: P_7 = \overset{0,1036}{\cancel{0,1036}} \text{ bar}$$

$$A = -4,532 \cdot 10^4 \text{ N/m}$$

$$W = 7,046 \cdot 10^4 \text{ N/m}$$

Bei einer angestellten Platte stellt sich nur Auftriebsbedingter Wellenwiderstand ein.

h) Anströmzahl: $M_{a_4} = 2,423$

$\alpha_{max} = 29^\circ \rightarrow$ Bei einem Anstellwinkel von 37° oder mehr würde sich

eine ~~Abgedeckte~~ Koppwelle bilden. (Abgelesen nur $x(liv)$)
Abgehobene